

ROČNÍK V/2001 ČÍSLO 4

Stavebnice a konstrukce A Radio

Vydavatel: AMARO spol. s r. o.

Redakce:

šéfredaktor : Alan Kraus, kraus@jmtronic.cz

Redakce: Na Beránce 2, 160 00 Praha 6

tel.: (02) 22 81 23 19

Ročně vychází 6 čísel. Cena výtisku 30 Kč.

Roční předplatné 156 Kč.

Rozšiřuje PNS a. s., Transpress spol s r. o.

Mediaprint & Kapa a soukromí distributoři.

Objednávky a předplatné v České republice

zajišťuje Amaro spol. s r. o. - Michaela

Jiráčková, Hana Merglová

(Radlická 2, 150 00 Praha 5

tel.: (02) 57 31 73 12, 57 31 73 13) , PNS.

Distribúciu, predplatné a inzerciu pre

Slovenskú republiku zabezpečuje:

Magnet-Press Slovakia s.r.o., P.O.Box 169,

830 00 BRATISLAVA

tel./fax: 02/44 45 45 59 - predplatné

tel./fax: 02/44 45 06 97 - predplatné

tel./fax: 02/44 45 46 28 - administratíva

tel./fax: 02/44 45 06 93 - inzercia

e-mail: magnet@pres.sk

Sídlo firmy: Teslova 12, 821 02 Bratislava

Podávání novinových zásilek povoleno

Českou poštou - ředitelstvím OZ Praha

(č.j. nov 6280/97 ze dne 22.8.1997).

Inzerce v ČR přijímá Amaro s. r. o.

Radlická 2, 150 00 Praha 5

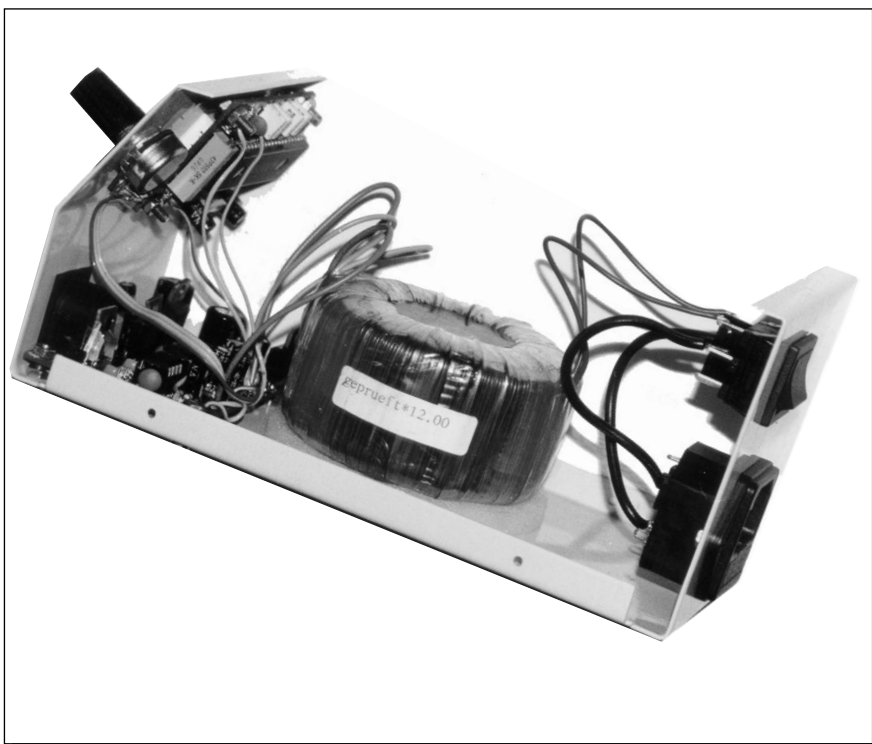
tel.: (02) 57 31 73 11

MKČR 7792

© AMARO spol. s r. o.

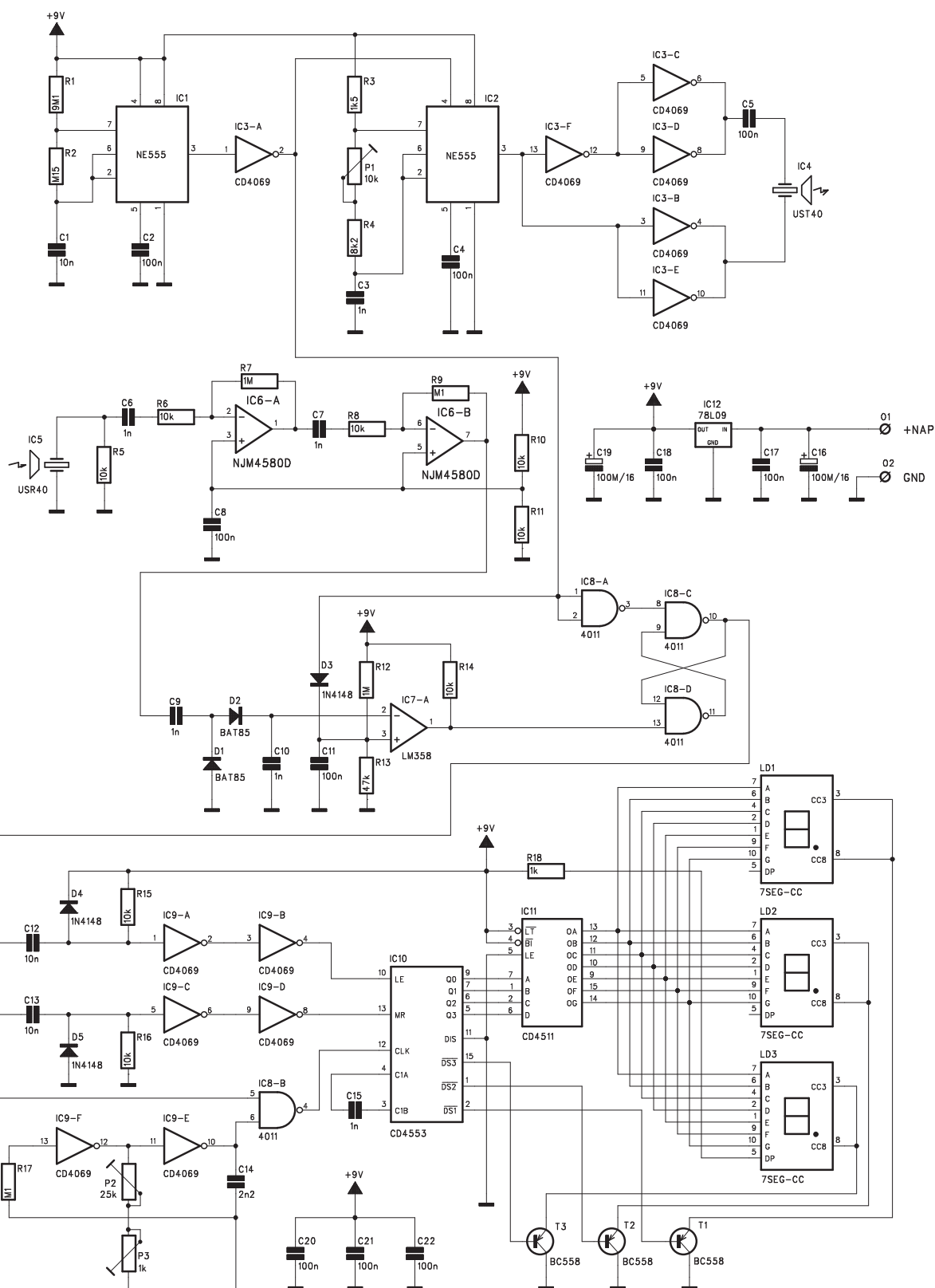
ISSN 1212-1843

Obsah



Obsah	1
Ultrazvukový dálkoměr	2
Obvod pro řízení krokových motorků	5
Mikroprocesorový blikáč se svítícími diodami . . .	8
Digitální volba s rotačním kodérem	12
Stmívač s obvodem PIC16F873	14
Kytarové efekty	18
Minibooster	20
Korekční zesilovač	22
Phaser	23
Parametrický equaliser	25
Fuzz	27
Exciter	28
Nabídka stavebnic	30
Objednací lístek pro předplatitele	32

Ultrazvukový dálkoměr



Obr. 1. Schéma zapojení ultrazvukového dálkoměru

Při měření středních délek (zhruba do rozsahu 10 m) lze s výhodou využívat ultrazvukového principu, založeného na měření doby ozvěny odražené od měřeného předmětu. Tento způsob měření je samozřejmě využitelný pouze za specifických podmínek, kdy je odrazová plocha dostatečně rozměrná a na cestě nejsou žádné větší předměty, které by mohly zvuk odrazit a způsobit tak nepřesnost. S výhodou je možné popsaný způsob použít v interiérech na rychlé orientační změření plochy. Proto existují i profesionální výrobky, pracující na uvedeném principu. Poměrně jednoduché zapojení je v následujícím příspěvku.

Popis

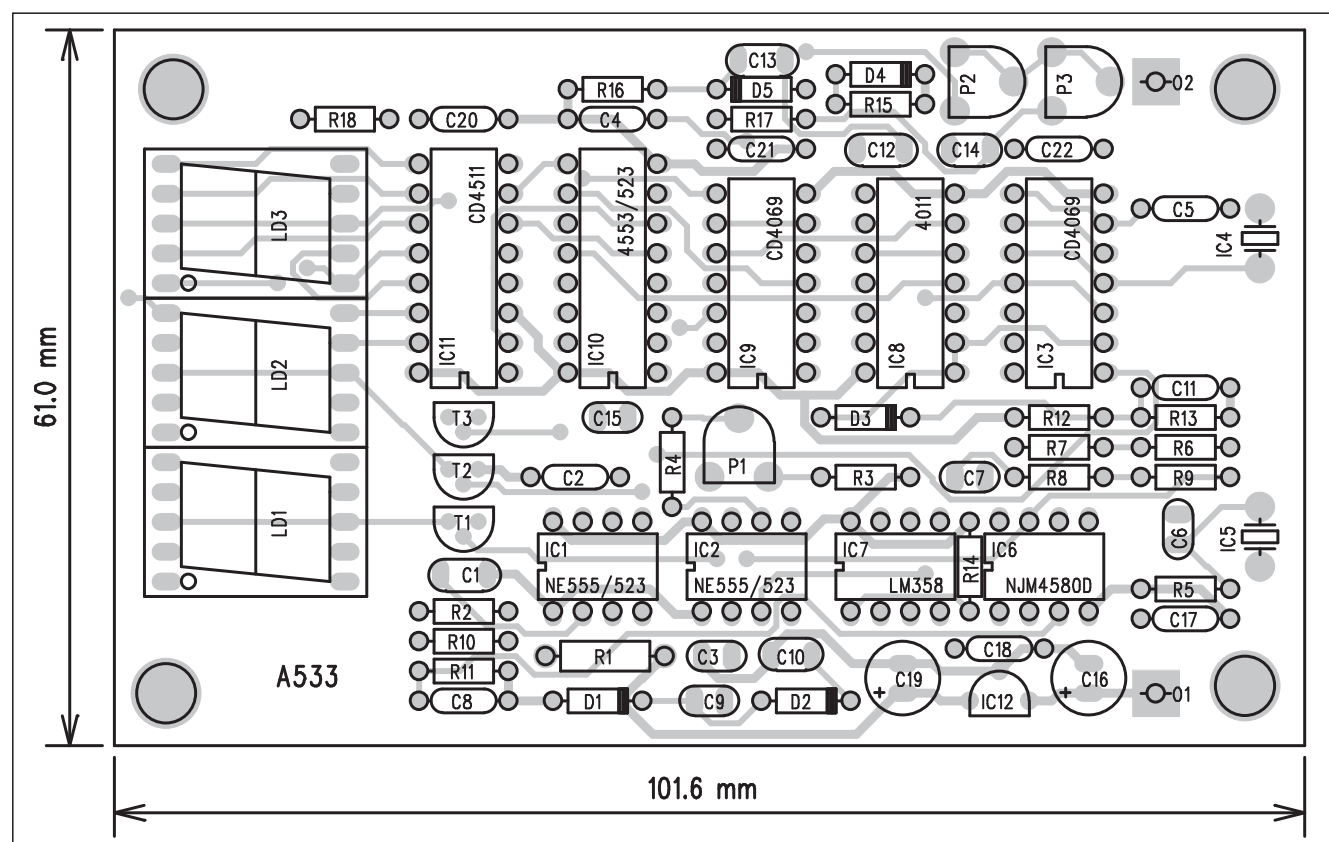
Schéma zapojení ultrazvukového dálkoměru je na obr. 1. Obvod se dělí na část vysílací a část přijímací. Vysílací část je tvořena dvojicí multivibrátorů s obvodem NE555 (IC1 a IC2) a výkonovou částí (budičem ultrazvukového měniče), tvořenou

invertoři 4069 (IC3). První časovač generuje obálku vysílaných impulsů. Podle vzorce pro výčet časových konstant obvodu NE555 je trvání signálu nízké úrovně $T_L = 0,69 \times R2 \times C1$, což je 1 ms. Trvání signálu vysoké úrovně $T_H = 0,69 \times (R1 + R2) \times C1$, což je 64 ms. Druhý časovač kmitá na frekvenci okolo 40 kHz (což je jmenovitý kmitočet použitých piezoměníčů). Přesné doladění je možné trimrem P1. Pokud je hodnota $P1 \text{ a } R4 \gg R3$, blíží se střída signálu 50 %. Vysílaný signál (40 kHz) je modulován do 1 ms impulsů z generátoru IC1 s 64 ms pauzou.

Na straně přijímače je signál z piezoměniče přiveden přes vazební kondenzátor C6 na dvoustupňový zesilovač s celkovým ziskem 60 dB, tvořený obvody IC6A a IC6B. Protože je zesilovač napájen pouze nesymetrickým napětím +9 V, je odpor R10 a R11 vytvořen umělý střed napájení (bias).

Signál z předzesilovače je přiveden na půlvlnný usměrňovač, osazený Schottkyho diodami D1 a D2. Ty mají proti běžným křemíkovým menší

úbytek napětí v propustném směru (typicky 0,3 V) a jsou dostatečně rychlé. Obvod kolem operačního zesilovače LM358 slouží k potlačení rušivého signálu (přeslechu) v okamžiku generování vysílaného impulsu. Úroveň HI na výstupu IC3A je přes diodu D3 přivedena na neinvertující vstup komparátoru IC7A. Tím se zvedne nastavená prahová úroveň komparátoru a napětí z usměrňovače nestačí na jeho překlopení. Po odeznění vysílacího impulsu se vybije kondenzátor C11 a tím se prahová úroveň komparátoru sníží na jmenovitou úroveň 0,4 V, danou odpory R12 a R13. Obvod je připraven detekovat skutečný příchozí signál. V okamžiku, kdy detektor zachytí odražený signál, komparátor se překlopí a výstupní úroveň se změní na nízkou. Kapacita kondenzátoru C11 je kritická vzhledem k měřicímu rozsahu přístroje. S uvedenou kapacitou je rozsah měření asi 40 cm až 10 m. S menší kapacitou C11 se obě vzdálenosti zkracují (při teplotě 20 °C se ze vzdálenosti 30 cm zvuk vrátí za 1,75 ms.



Obr. 2. Rozložení součástek na desce s plošnými spoji ultrazvukového dálkoměru

Hradla IC8A, C a D tvoří klopný obvod SR. Ten je nastaven v okamžiku počátku generování vysílacího impulsu úrovní HI na vstupu IC8A. Výstup (IC8C) se překlápí do HI. V okamžiku detekování příchozího impulsu se úroveň LO na výstupu komparátoru IC7A obvod RS překlápí (výstup přejde do stavu LO). Na výstupu obvodu RS (IC8) je tedy vysoká úroveň přesně po dobu, po kterou se vrací signál od překážky.

Nyní stačí pouze vytvořit generátor s vhodným kmitočtem a po dobu otevření obvodu RS čítat impulsy. Načtený a zobrazený výsledek ukazuje přímo vzdálenost v metrech. Při teplotě 20 °C je udávaná rychlost zvuku 343,5 m/s. Vzdálenost 2 m (překážka ve vzdálenosti 1 m) urazí zvuk za dobu 5,82 ms. Potřebujeme-li za tuto dobu 100 impulsů, musí

být kmitočet generátoru 17,18 kHz. Generátor měřicího kmitočtu je tvořen dvojicí invertorů IC9E a IC9F.

Pro kmitočet oscilátoru platí vzorec $f = 1/(2,2 \times C14 \times R)$, kde R je tvořeno trimrem P2 a P3 pro hrubé a jemné nastavení. Za předpokladu, že C14 je 2,2 nF vychází hodnota odporu R 12 kohmů. Protože rychlost šíření zvuku je teplotně závislá, je výhodné menší trimr umístit na obalu přístroje pro možnost kalibrace.

Pro generování začátku čítání, uložení výsledku a nulování střadače slouží čtveřice invertorů IC9A až IC9D. Obvod IC8B uvolňuje kmitočet měřicího generátoru pro čítání po dobu čekání na odražený signál. Trímístný čítač je realizován obvodem 4553 (IC10), který obsahuje tři BCD čítače, vyrovnávací paměť a multiplexer s výstupem BCD. Výsledek je

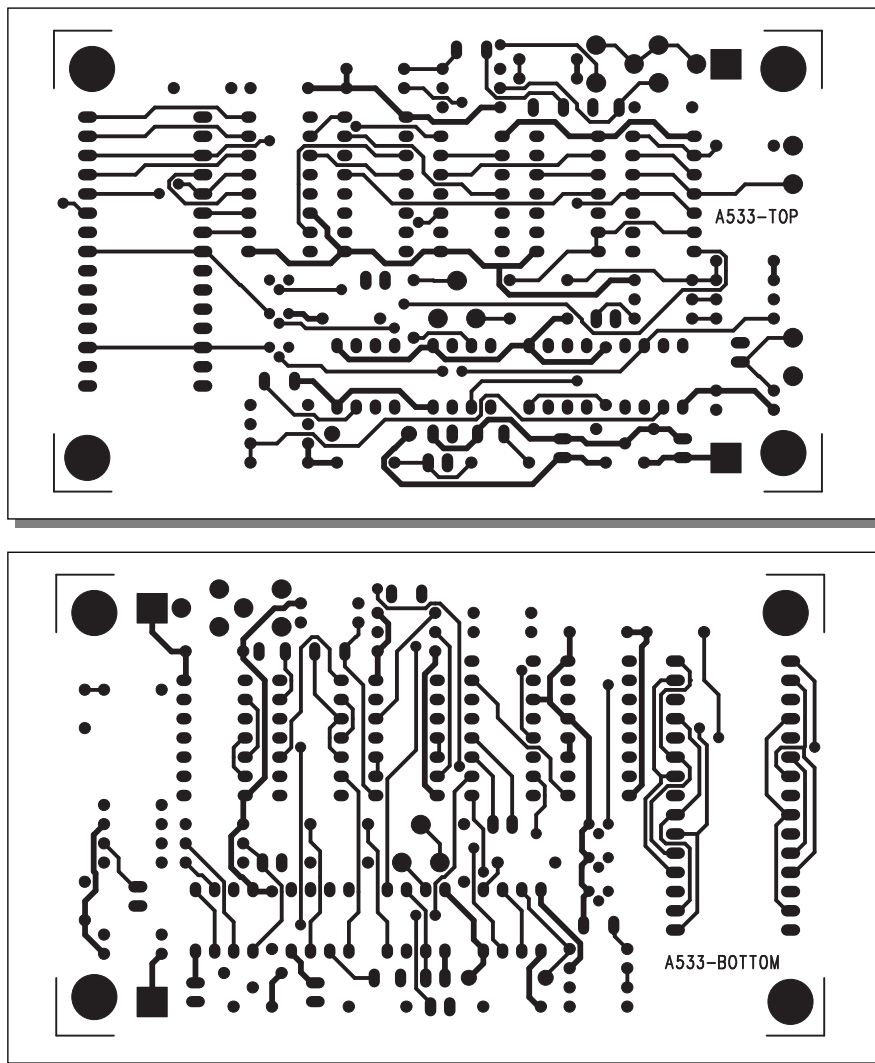
dekódován obvodem 4011 (IC11), který budí trojici 7segmentových LED zobrazovačů. Jednotlivé číslice jsou připojovány postupně multiplexerem přes tranzistorové spínače T1 až T3. Rychlost skenování multiplexeru závisí na napájecím napětí a kapacitě kondenzátoru C15. Pro napájecí napětí +5 V je přepínací frekvence $0,4/Ct$ (Hz). Kapacita Ct je v μF .

Stavba

Ultrazvukový dálkoměr je zhotoven na dvoustranné desce s plošnými spoji o rozměrech 61 x 102 mm. Rozložení součástek na desce s plošnými spoji je na obr. 2, obrazec desky spojů ze strany součástek (TOP) je na obr. 3, ze strany spojů (BOTTOM) je na obr. 4. Při osazování desky postupujeme běžným způsobem od nejmenších (nejnižších) součástek k nejvyšším. Při osazování pečlivě kontrolujeme vkládané součástky, z dvoustranného prokoveného spoje se bez odsávačky součástky vyjímají poměrně obtížně. Po osazení a zapájení součástek desku ještě jednou pečlivě prohlédneme (nejlépe pod lupou) a odstraníme případné závady. Připojíme napájecí napětí. Pokud máme čítač a osciloskop, zkontrolujeme kmitočet ultrazvukového generátoru. Případné odchylky dorovnáme trimrem P1. Vyzkoušíme proti větší rovné ploše ve vzdálenosti 1 m funkci zařízení. Při správné funkci můžeme nastavit správný údaj na displeji trimrem P3. P2 je nastaven asi v polovině dráhy. Trimry P2 a P3 případně vzájemně upravíme, aby P3 byl přibližně v polovině. Nyní můžeme vyzkoušet dálkoměr v praxi.

Závěr

Popsaný dálkoměr je konstrukcí, která nabízí několik zajímavých obvodových řešení. Další doplňující informace o použitých obvodech naleznete na www.interq.or.jp/japan/se-inoue/e_srm.htm.



Obr. 3 a 4. Obrazce desky s plošnými spoji. M1:1

Obvod pro řízení krokových motorků

V současné době se krokové motorky používají stále častěji. I když existuje celá řada specializovaných obvodů pro jejich řízení v širokém výkonovém spektru, ve většině případů jsou v obvodu především budicí a koncové stupně. Ovládání motorku (tj. řízení otáček a směru otáčení) musíme zajistit externím obvodem. Jednodušší řešení může být obě funkce spojit do jediného obvodu - mikroprocesoru. Velmi jednoduchý obvod s procesorem PIC16F84A jsme našli na internetové adrese www.interq.or.jp/japan/se-inoue/e_step.htm. Na těchto stránkách (i když pochází z Japonska, jsou přeloženy do angličtiny) je několik dalších velmi kvalitně zpracovaných konstrukcí s procesory PIC (postupně si nejzajímavější přiblížíme) včetně základního výkladu o jejich

použití, programování apod. Každá konstrukce je detailně rozebrána včetně plného výpisu programu, vývojového diagramu a podrobného popisu funkce každé součástky. Mimo jiné je například k této konstrukci popis činnosti krokového motorku. Úrovní zpracování patří tyto stránky k jedněm z nejlepších, jaké jsou na internetu k vidění.

Popis

Schéma zapojení regulátoru je na obr. 1. Jádrem obvodu je procesor PIC16F84A. V tomto případě mikroprocesor sleduje stav ovládacích tlačítek pro směr pohybu a zastavení, otáčky motoru a obvod budiče pro cívky motoru. Protože výstupy z pro-

cesoru lze zatížit pouze velmi malým proudem, jsou vinutí buzena Darlingtonovými tranzistory T2 až T4. Při minimálním proudovém zesílení okolo 1000 je buzení z procesoru dostatečné. Diody D1 až D4 chrání tranzistory proti indukovaným napěťovým špičkám z vinutí motoru.

Hodinový kmitočet procesoru je dán standardním krystalovým oscilátorem 4 MHz, což je pro tuto aplikaci dostatečné.

Otáčky motoru se nastavují potenciometrem P1 v obvodu s tranzistorem T1, kondenzátorem C4 a sériovým odporem R1. V okamžiku, kdy se na výstupu RB7 objeví signál s úrovní HI se tranzistor T1 otevře a kondenzátor C4 se vybije. Jakmile se úroveň na RB7 sníží na LO, T1 se uzavře a začne se nabíjet kondenzátor

Seznam součástek

odpory 0204

R5	10 kΩ
R6	10 kΩ
R8	10 kΩ
R10	10 kΩ
R11	10 kΩ
R14	10 kΩ
R15	10 kΩ
R16	10 kΩ
R18	1 kΩ
R3	1,5 kΩ
R7	1 MΩ
R12	1 MΩ
R13	47 kΩ
R4	100 kΩ
R17	100 kΩ
R2	150 kΩ

odpory 0207

R1	9,1 MΩ
----	--------

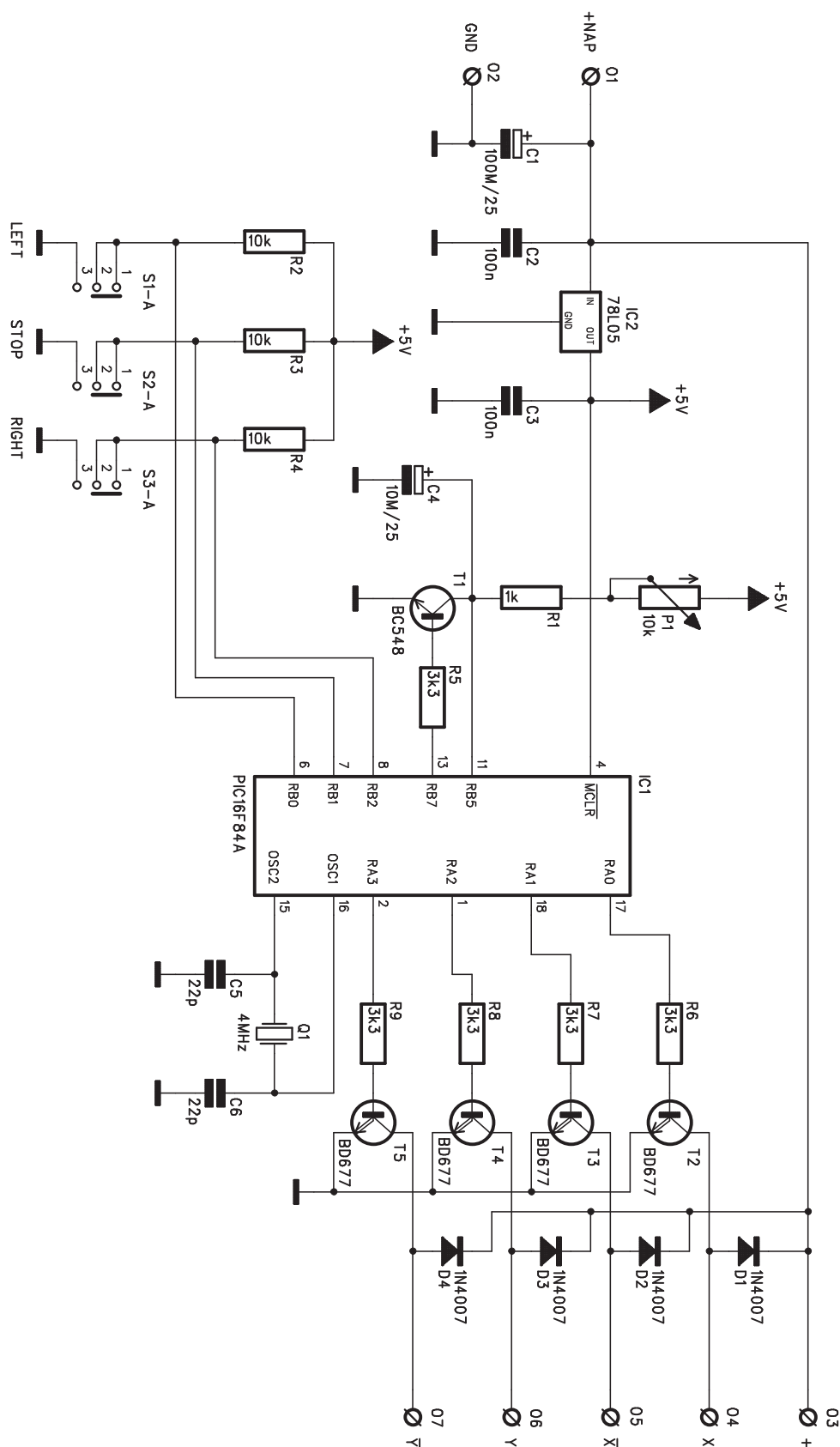
C16	100 μF/16 V
C19	100 μF/16 V

C2	100 nF
C4	100 nF
C5	100 nF
C8	100 nF
C11	100 nF
C17	100 nF
C18	100 nF
C20	100 nF
C21	100 nF
C22	100 nF
C1	10 nF
C12	10 nF
C13	10 nF
C3	1 nF
C6	1 nF
C7	1 nF
C9	1 nF
C10	1 nF
C15	1 nF
C14	2,2 nF

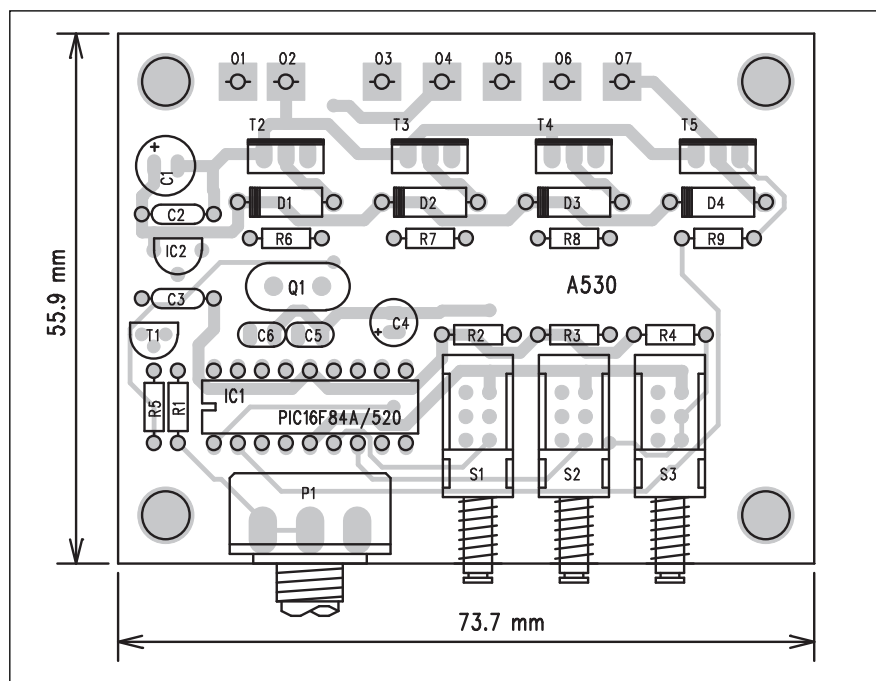
D1	BAT85
D2	BAT85
D3	1N4148

D4	1N4148
D5	1N4148
LD1	7SEG-CC/15MM
LD2	7SEG-CC/15MM
LD3	7SEG-CC/15MM
IC8	4011
IC12	78L09
IC3	CD4069
IC9	CD4069
IC11	CD4511
IC10	CD4553
IC7	LM358
IC1	NE555
IC2	NE555
IC6	NJM4580D
IC5	USR40
IC4	UST40
T1	BC558
T2	BC558
T3	BC558

P1	10 kΩ/PT6-H
P2	25 kΩ/PT6-H
P3	1 kΩ/PT6-H



Obr. 1. Schéma zapojení regulátoru pro krokové motorky s obvodem PIC16F84A



C4. Napětí na C4 je monitorováno procesorem (vývod RB5). Do dosažení prahového napětí na RB5 je obvod řízení motoru zablokován. Při nastavení potenciometru na P1 na menší hodnotu je časová konstanta kratší a otáčky motoru jsou vyšší. Tlačítkové spínače S1 až S3 slouží k rozběhu určitým směrem a zastavení motoru. Odpory R2 až R4 zajišťují kladné napětí na vstupech procesoru, pokud není některé tlačítko stisknuto.

Napájecí obvody jsou klasické. Protože krokový motorek může mít vyšší napájecí napětí (typ. 12 V), je napájen přímo ze zdroje. Napájecí napětí pro procesor je stabilizováno malým plastovým regulátorem 78L05.

Stavba

Obvod pro řízení krokových motorek je zhotoven na dvoustranné desce s plošnými spoji o rozměrech 56 x 74 mm. Rozložení součástek na desce s plošnými spoji je na obr. 2, obrazec desky spojů ze strany součástek (TOP) je na obr. 3, ze strany spojů (BOTTOM) je na obr. 4.

Stavba regulátoru je velmi jednoduchá a při pečlivé práci musí obvod pracovat na první zapojení. Výpis programu naleznete na výše zmíněné adrese www.interq.or.jp/japan/se-inoue/e_step7.htm.

Popsaná konstrukce je zajímavá především jako základ pro vlastní

experimenty. Popis jednotlivých částí programu a vývojového diagramu usnadní začátečníkům proniknout do tajů mikroprocesorové techniky.

Seznam součástek

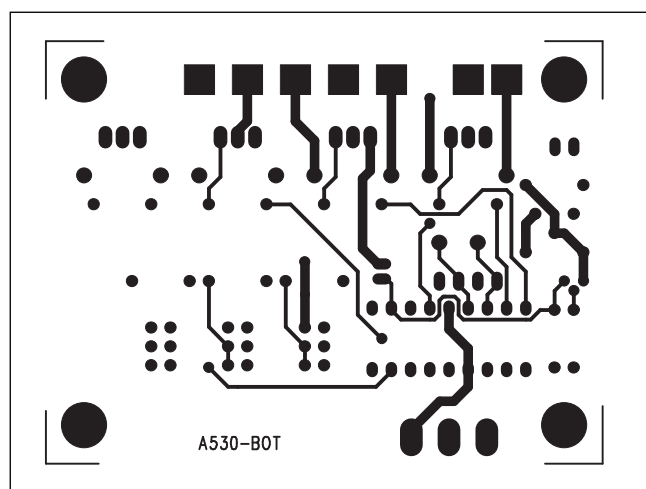
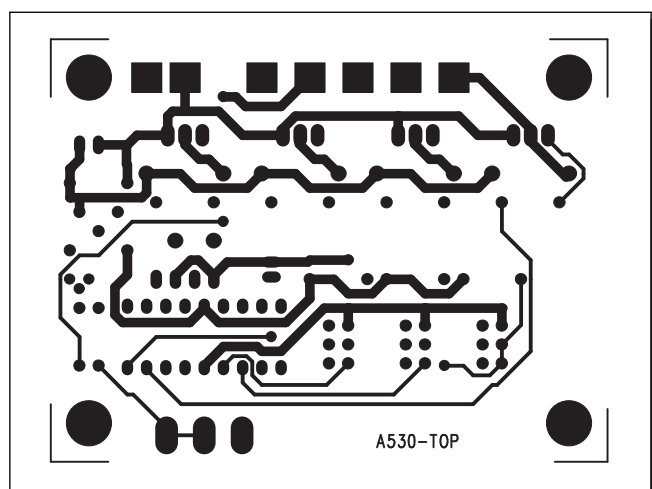
odpory 0204

R1	1 kΩ
R2 až R4	10 kΩ
R5	3,3 kΩ
R6	3,3 kΩ
R7	3,3 kΩ
R8	3,3 kΩ
R9	3,3 kΩ

C1	100 μF/25 V
C2, C3	100 nF
C4	10 μF/25 V
C5, C6	22 pF

D1	1N4007
D2	1N4007
D3	1N4007
D4	1N4007
IC1	PIC16F84A (A530)
IC2	78L05

P1	10 kΩ-P16M
Q1	4 MHz-HC18
S1	PBS22D02
S2	PBS22D02
S3	PBS22D02
T1	BC548
T2	BD677
T3	BD677
T4	BD677
T5	BD677



Obr. 3. Obrazec desky spojů - strana TOP

Obr. 4. Obrazec desky spojů - strana BOTTOM

Mikroprocesorový blikáč se svítícími diodami

Jedny z prvních pokusů s mikroprocesory většinou začínají u řešení vstupních obvodů - ošetření tlačítek - na jedné straně a výstupy - indikací s diodami LED na straně druhé. Na těchto typech zapojení se dobře demonstruje technika programování. Výsledek je hned vidět a vše, co "něco dělá" - bliká, troubí, pohybuje se je pro každého začátečníka přitažlivé. Na výše zmíněných stránkách jsem našli toto skoro "školní" zapojení blikáče s LED, řízeného procesorem PIC16F84A. Kromě popisu zapojení uvedeme u tohoto blikáče i výpis programu, který je volně ke stažení na adrese www.interq.or.jp/japan/se-inoue/e_pic6_15.htm.

Popis

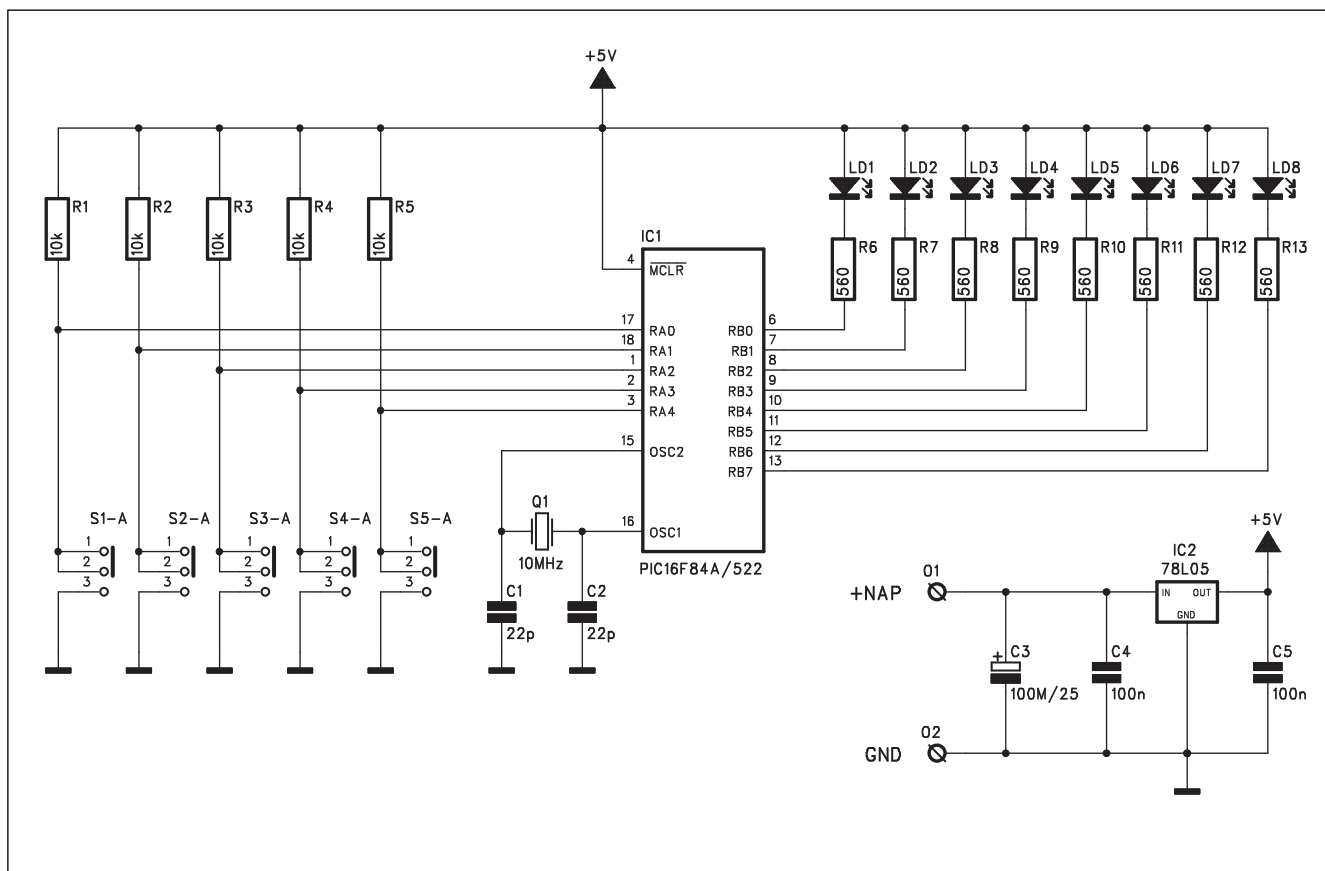
Schéma zapojení blikáče je na obr. 1. Pomocí pětice vstupních tlačítek S1 až S5 se volí jeden z pěti zobrazovacích módů. Pro jednoduchost je použito přímé připojení vstupů (tlačítek) a výstupů (LED). Vstupy tlačítek jsou v rozpojeném stavu udržovány na úrovni HI zdvihacími odpory R1 až R5. LED jsou připojeny přímo k výstupům procesoru přes odpory 560 ohmů. Procesor je taktován krystalovým oscilátorem v běžném zapojení s kmitočtem 10 MHz. Napájecí napětí je stabilizováno malým regulátorem 78L05. Pro omezení výstupního proudu jsou použity nízkopříkonové LED s vyšší svítivostí.

Stavba

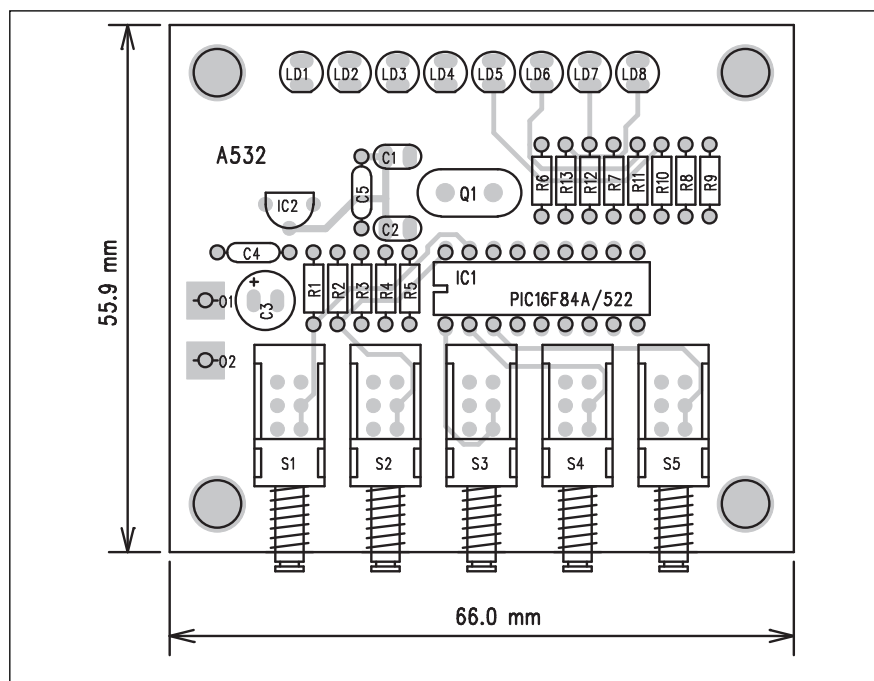
Mikroprocesorový blikáč s LED je zhotoven na dvoustranné desce s plošnými spoji o rozměrech 56 x 66 mm. Rozložení součástek na desce s plošnými spoji je na obr. 2, obrazec desky spojů ze strany součástek (TOP) je na obr. 3, ze strany spojů (BOTTOM) je na obr. 4. Zapojení je velmi jednoduché (jednodušší snad ani být nemůže) a při pečlivé práci by mělo pracovat na první pokus.

Závěr

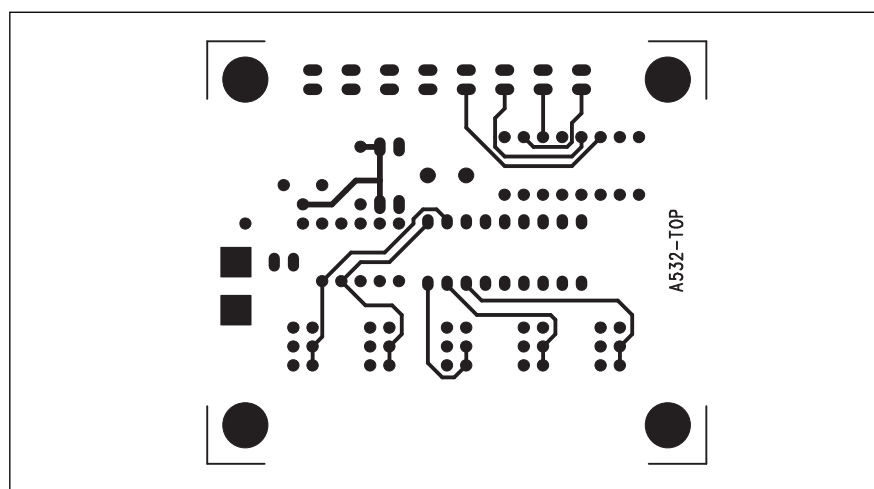
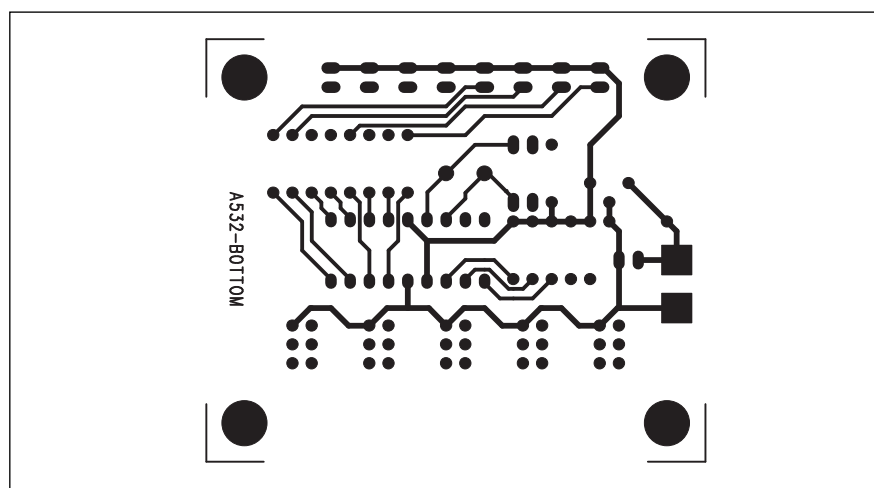
Vzhledem k faktu, že stále více konstruktérů přechází při návrhu



Obr. 1. Schéma zapojení blikáče LED s mikroprocesorem PIC16F84A



Obr. 2. Rozložení součástek na desce s plošnými spoji



Obr. 3 a 4. Obrazce desky spojů A532-DPS. M1:1

obvodového řešení od "klasických" obvodů k mikroprocesorům, je každá cesta, jak tuto problematiku přiblížit začátečníkům jistě užitečná. Také tuto konstrukci berte spíše jako učební pomůcku než nějaké praktické zapojení, ale někde se začínat musí. Možná je popsany blikáč pro začínajícího elektronika smysluplnější než desítky nejrůznějších "vánočních stromečků" a podobných hrátek s diodami LED, které se hustě objevují v rubrikách pro začátečníky.

Seznam součástek

odpory 0204

R1	10 kΩ
R2	10 kΩ
R3	10 kΩ
R4	10 kΩ
R5	10 kΩ
R6	560 Ω
R7	560 Ω
R8	560 Ω
R9	560 Ω
R10	560 Ω
R11	560 Ω
R12	560 Ω
R13	560 Ω

C3	100 μF/25 V
C4	100 nF
C5	100 nF
C1	22 pF
C2	22 pF

IC1	PIC16F84A/522
IC2	78L05
LD1	LED5
LD2	LED5
LD3	LED5
LD4	LED5
LD5	LED5
LD6	LED5
LD7	LED5
LD8	LED5

Q1	10 MHz-HC18
S1	PBS22D02
S2	PBS22D02
S3	PBS22D02
S4	PBS22D02
S5	PBS22D02


```

movwf portb      ;Output data
call t100m       ;Wait 100msec
movlw p15        ;Set pattern data
movwf portb      ;Output data
call t100m       ;Wait 100msec
movlw p16        ;Set pattern data
movwf portb      ;Output data
call t100m       ;Wait 100msec
movlw p17        ;Set pattern data
movwf portb      ;Output data
call t100m       ;Wait 100msec
movlw 0ff        ;Set LED off data
movwf portb      ;Output data
call t100m       ;Wait 100msec
return

;***** Pattern 2 Output Subroutine *****
ptn2 movlw p20    ;Set pattern data
movwf portb      ;Output data
call t100m       ;Wait 100msec
movlw p21        ;Set pattern data
movwf portb      ;Output data
call t100m       ;Wait 100msec
movlw p22        ;Set pattern data
movwf portb      ;Output data
call t100m       ;Wait 100msec
movlw p23        ;Set pattern data
movwf portb      ;Output data
call t100m       ;Wait 100msec
movlw p24        ;Set pattern data
movwf portb      ;Output data
call t100m       ;Wait 100msec
movlw p25        ;Set pattern data
movwf portb      ;Output data
call t100m       ;Wait 100msec
movlw p26        ;Set pattern data
movwf portb      ;Output data
call t100m       ;Wait 100msec
movlw 0ff        ;Set LED off data
movwf portb      ;Output data
call t100m       ;Wait 100msec
return

;***** Pattern 3 Output Subroutine *****
ptn3 movlw p30    ;Set pattern data
movwf portb      ;Output data
call t100m       ;Wait 100msec
movlw p31        ;Set pattern data
movwf portb      ;Output data
call t100m       ;Wait 100msec
movlw p32        ;Set pattern data
movwf portb      ;Output data
call t100m       ;Wait 100msec
movlw p33        ;Set pattern data
movwf portb      ;Output data
call t100m       ;Wait 100msec
movlw p34        ;Set pattern data
movwf portb      ;Output data
call t100m       ;Wait 100msec
movlw p35        ;Set pattern data
movwf portb      ;Output data
call t100m       ;Wait 100msec
movlw p36        ;Set pattern data
movwf portb      ;Output data
call t100m       ;Wait 100msec
movlw p37        ;Set pattern data
movwf portb      ;Output data
call t100m       ;Wait 100msec
movlw p38        ;Set pattern data
movwf portb      ;Output data
call t100m       ;Wait 100msec
movlw p39        ;Set pattern data
movwf portb      ;Output data
call t100m       ;Wait 100msec
movlw p3a        ;Set pattern data
movwf portb      ;Output data
call t100m       ;Wait 100msec
movlw p3b        ;Set pattern data
movwf portb      ;Output data
call t100m       ;Wait 100msec
movlw p3c        ;Set pattern data
movwf portb      ;Output data
call t100m       ;Wait 100msec
movlw p3d        ;Set pattern data
movwf portb      ;Output data
call t100m       ;Wait 100msec
movlw 0ff        ;Set LED off data

movwf portb      ;Output data
call t100m       ;Wait 100msec
return

;***** Pattern 4 Output Subroutine *****
ptn4 movlw p40    ;Set pattern data
movwf portb      ;Output data
call t1s         ;Wait 1sec
movlw p41        ;Set pattern data
movwf portb      ;Output data
call t1s         ;Wait 1sec
movlw p42        ;Set pattern data
movwf portb      ;Output data
call t1s         ;Wait 1sec
movlw p43        ;Set pattern data
movwf portb      ;Output data
call t1s         ;Wait 1sec
movlw p44        ;Set pattern data
movwf portb      ;Output data
call t1s         ;Wait 1sec
movlw p45        ;Set pattern data
movwf portb      ;Output data
call t1s         ;Wait 1sec
movlw p46        ;Set pattern data
movwf portb      ;Output data
call t1s         ;Wait 1sec
movlw p47        ;Set pattern data
movwf portb      ;Output data
call t1s         ;Wait 1sec
movlw p48        ;Set pattern data
movwf portb      ;Output data
call t1s         ;Wait 1sec
movlw 0ff        ;Set LED off data
movwf portb      ;Output data
call t1s         ;Wait 1sec
return

;***** Timer Subroutine for 10MHz clock *****
;***** 1msec Timer Subroutine *****
t1m movlw 2       ;(1) Set loop cnt1
movwf cnt1m      ;(1) Save loop cnt1
tm1lp1 movlw d'249' ;(1)*2 Set loop cnt2
movwf cnt500u    ;(1)*2 Save loop cnt2
tm1lp2 nop        ;(1)*249*2 Time adjust
nop              ;(1)*249*2 Time adjust
decfsz cnt500u,f ;(1)*249*2 cnt500u-1=0 ?
goto tm1lp2      ;(2)*248*2 No, continue
decfsz cnt1m,f   ;(1)*2 cnt1m-1=0 ?
goto tm1lp1      ;(2) No. Continue
return           ;(2) Yes. Cnt end
;Total 2501*0.4usec=1msec

;***** 100msec Timer Subroutine *****
t100m movlw d'100' ;Set loop counter
movwf cnt100m    ;Save loop counter
tm2lp call t1m    ;1msec subroutine
decfsz cnt100m,f ;cnt100m - 1 = 0 ?
goto tm2lp       ;No. Continue
return           ;Yes. Count end

;***** 500msec Timer Subroutine *****
t500m movlw 5      ;Set loop counter
movwf cnt500m    ;Save loop counter
tm3lp call t100m  ;100msec subroutine
decfsz cnt500m,f ;cnt500m - 1 = 0 ?
goto tm3lp       ;No. Continue
return           ;Yes. Count end

;***** 1sec Timer Subroutine *****
t1s movlw 2        ;Set loop counter
movwf cnt1s       ;Save loop counter
tm4lp call t500m  ;500msec subroutine
decfsz cnt1s,f    ;cnt1s - 1 = 0 ?
goto tm4lp        ;No. Continue
return            ;Yes. Count end

;***** END of LED flash control processing *****
end

```

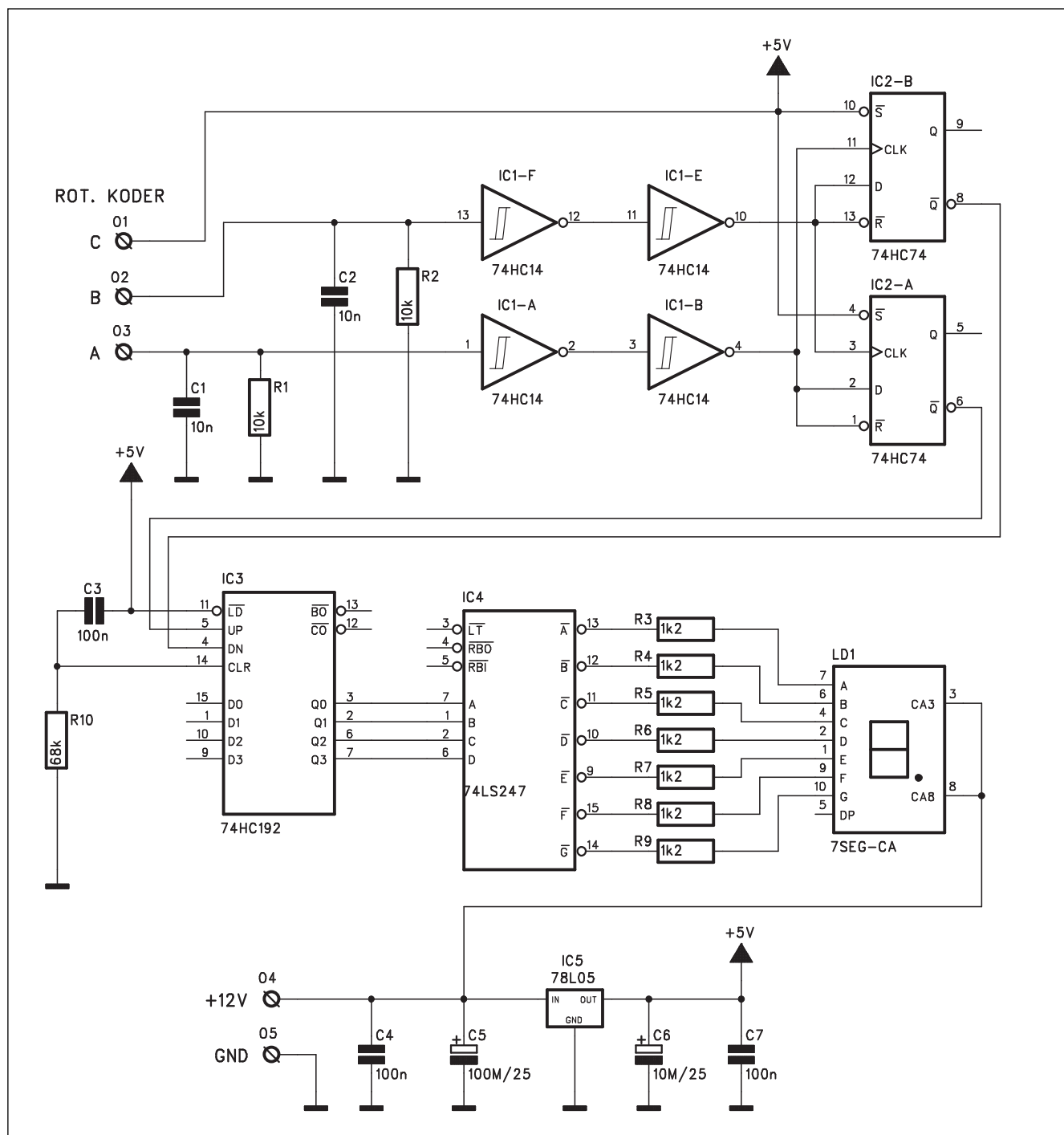
Zdroj: www.interq.or.jp/japan/se-inoue/e_pic6_15.htm

Digitální volba s rotačním kodérem

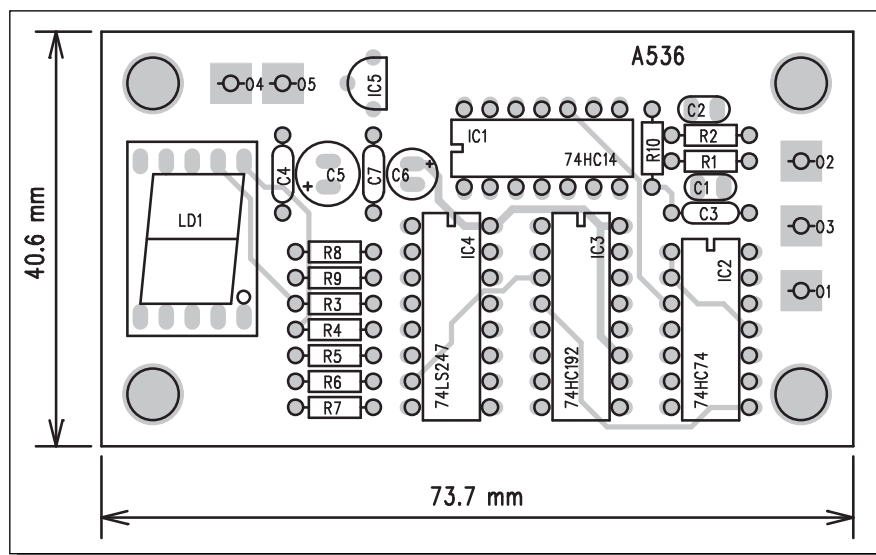
Běžné potenciometry a přepínače jsou s nástupem mikroprocesorového ovládání postupně nahrazovány otočnými kodéry. Rotační kodér je

poměrně jednoduchá a levná součástka (předpokládám klasický mechanický, ne například vysoce kvalitní optický), připomínající běžný potenciometr.

Místo odporové dráhy se uvnitř nachází dvojice mechanických kontaktů, které při otáčení periodicky spínají a rozspínají jeden ze dvou



Obr. 1. Schéma zapojení digitální volby s rotačním kodérem



Obr. Rozložení součástek na desce kodéru

výstupů proti společné zemi. Protože oba výstupní signály jsou proti sobě fázově posunuty, je z jejich sledu možné určit směr otáčení kodéru. Přesné definování počtu kroků (impulsů) na otáčku, často kombinované s mechanickým "klikem" je ideálním vstupním médiem pro zadávání dat. Zejména v kombinaci s menu na grafickém displeji umožňuje velmi jednoduché ovládání i poměrně složitých zařízení s minimálním počtem ovládacích prvků. To samozřejmě snižuje cenu a zvyšuje spolehlivost. I když hlavní doménou kodérů jsou obvody s mikroprocesory, je možné poměrně snadno realizovat rotační kodér i klasickými logickými obvody. Jedno takové "ukázkové řešení" jsme našli i na internetové adrese www.interq.or.jp/japan/se-inoue/e_ckt10.htm.

Popis

Schéma zapojení je na obr. 1. Rotační kodér se připojuje ke svorkám A, B a C. Společný vývod je připojen k napájecímu napětí přes svorku C. Na svorkách A a B je při otáčení fázově posunutý signál obdélníkového průběhu. Ten je zpracován dvojicí invertorů - Schmidových klopných obvodů IC1. Odpory R1 a R2 s paralelně zapojenými kondenzátory C1 a C2 slouží k filtraci zámkitů vznikajících na kontaktech kodéru. Sériové spojení dvou hradel dále zlepšuje strmost hran výstupního signálu. Pro detekci směru otáčení jsou použity dva klopné obvody typu D (74HC74) IC2. Výstupy z klopných obvodů D je řízen obousměrný čítač 74HC192 (IC3). Kondenzátor C3 s odporem R10 nulují obsah čítače při

zapnutí napájení (napájecí napětí musíme zapnout vypínačem, při postupném zvyšování, například ze stabilizovaného regulovatelného zdroje, k resetu nedojde). Obsah jednotlivých registrů čítače je z výstupů Q0 až Q3 přiveden na vstupy dekadického dekodéru a budiče 7segmentového LED displeje 74LS247 (IC4). Na jeho výstupu je připojen zobrazovač v zapojení se společnou anodou.

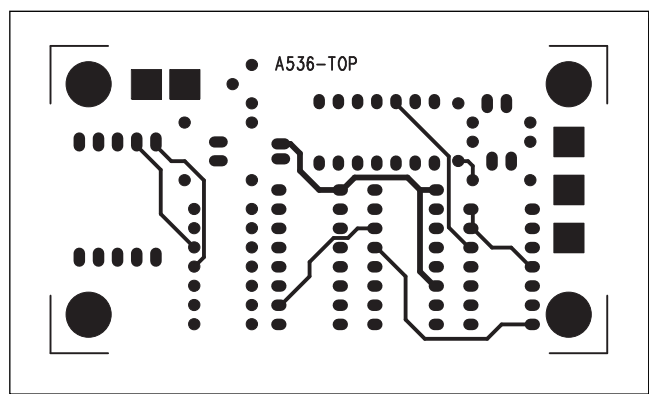
Seznam součástek

odpory 0204

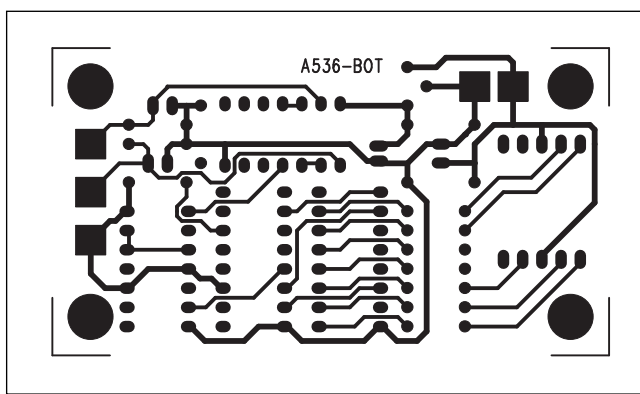
R1	10 kΩ
R2	10 kΩ
R3	1,2 kΩ
R4	1,2 kΩ
R5	1,2 kΩ
R6	1,2 kΩ
R7	1,2 kΩ
R8	1,2 kΩ
R9	1,2 kΩ
R10	68 kΩ

C5	100 μF/25 V
C3	100 nF
C4	100 nF
C7	100 nF
C6	10 μF/25 V
C1	10 nF
C2	10 nF

IC1	74HC14
IC3	74HC192
IC2	74HC74
IC4	74LS247
IC5	78L05
LD1	7SEG-CA-15MM



Obr. 3. Obrazec desky spojů - strana TOP



Obr. 4. Obrazec desky spojů - strana BOTTOM

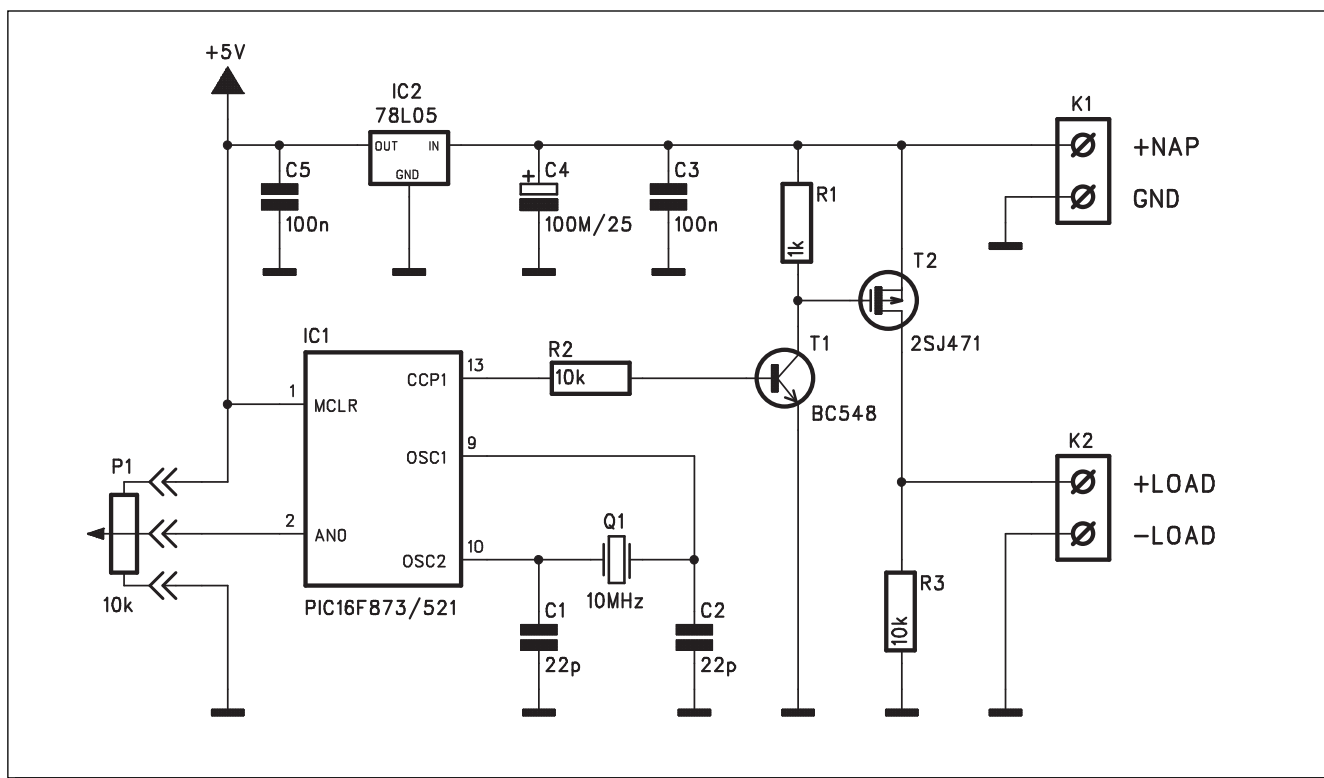
Stmívač s obvodem PIC16F873

Další konstrukce ze zajímavých stránek www.interq.or.jp/japan/seinoue/e_pic6_5.htm. V tomto případě je použit mikroprocesor s vestavěnou

funkcí CCP (Capture/Compare/PWM (Pulse Width Modulation)). Toto řešení minimalizuje nároky na počet externích součástek.

Popis

Schéma zapojení je na obr. 1. Z procesoru v pouzdru DIL s 28



Obr. 1. Schéma zapojení stmívače s PIC16F873

Napájení je opět klasické se stabilizátorem 78L05. Společná anoda zobrazovače je pak napájena přímo ze vstupních svorek (před stabilizátorem) vyšším napětím. S uvedenými hodnotami součástek (odporů v jednotlivých segmentech) je proud omezen asi na 8 mA pro každý segment.

Stavba

Digitální kodér je zhotoven na dvoustranné desce s plošnými spoji o rozměrech 41 x 74 mm. Rozložení

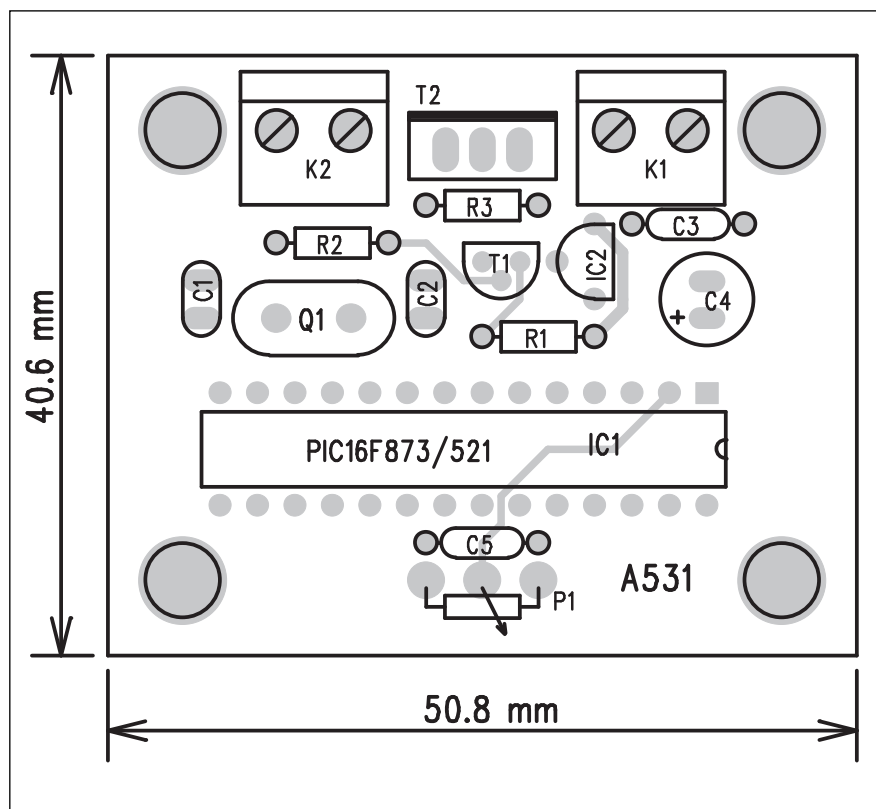
součástek na desce s plošnými spoji je na obr. 2, obrazec desky spojů ze strany součástek (TOP) je na obr. 3, ze strany spojů (BOTTOM) je na obr. 4.

Stavba kodéru je velmi jednoduchá a při pečlivé práci musí obvod pracovat na první zapojení.

Závěr

Toto zapojení je ukázkové a má pouze 1 číslici. Použité čítače 74HC192 však umožňují řadit více obvodů za sebou, takže lze počet míst snadno rozšířit. Příliš mnoho míst by ale

v tomto případě bylo nepraktické, protože jsme omezeni konstantním počtem kroků na otočku kodéru (typicky 12 nebo 24). Po jednotkách natočit větší číslo by pak trvalo neúměrně dlouho. U procesorových zařízení se to řeší např. volitelnou konstantou kroku, nebo procesor vyhodnocuje rychlost, případně dobu trvání otáčení a po rychlejšímu pohybu nebo několika otáčkách sám zvýší konstantu (např. 1 krok = 100). To je relativně jednoduché u procesorového řízení (pouze věc programu), ale zbytečně složité u diskrétního zapojení.



Seznam součástek

odpory 0204

R1 1 k Ω
 R2 10 k Ω
 R3 10 k Ω

C4 100 μ F/25 V
 C3 100 nF
 C5 100 nF
 C1 22 pF
 C2 22 pF

IC1 PIC16F873/531
 IC2 78L05
 T1 BC548
 T2 2SJ471

K1 ARK210/2
 K2 ARK210/2
 P1 10 k Ω
 Q1 10 MHz-HC18

Obr. 2. Rozložení součástek na desce s plošnými spoji

vývody použijeme pouze několik - analogový vstup řídicího napětí AN0, obvod pro restart po zapnutí napájení a výstup pro spínač PWM (pulsně-šířkové modulace). Hodinový kmitočet procesoru je řízen krystalovým oscilátorem 10 MHz.

Proud do zátěže je spínán tranzistorem MOSFET. Typ 2SJ471, použitý v původním zapojení, má mezní proud 30 A a odpor kanálu v sepnutém stavu 25 mohmů.

Tranzistor T1 BC548 pracuje jako budič tranzistoru MOSFET. Napájecí napětí pro mikroprocesor je stabilizováno monolitickým regulátorem 78L05.

Stavba

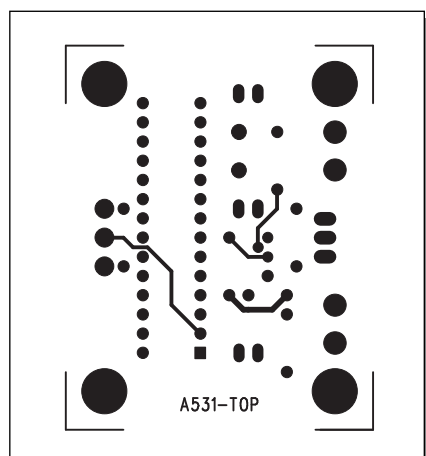
Stmívač je zhotoven na dvoustranné desce s plošnými spoji o rozměrech 41 x 51 mm. Rozložení

součástek na desce s plošnými spoji je na obr. 2, obrazec desky spojů ze strany součástek (TOP) je na obr. 3, ze strany spojů (BOTTOM) je na obr. 4. Pro připojení silových vodičů (napájení a zátěž) jsou na desce šroubovací svorkovnice s vývody do DPS. Mezní parametry obvodu jsou podle původního pramene napájecí napětí 12 V a maximální spínaný výkon 300 W.

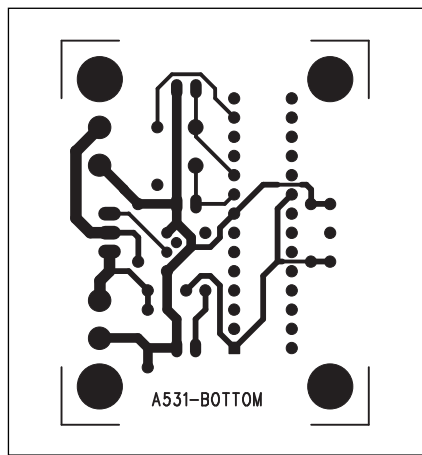
Úplný výpis programu včetně popisu jednotlivých modulů a vývojový diagram jsou ke stažení na www.interq.or.jp/japan/se-inoue/e_pic6_54.htm.

Závěr

Uvedenou konstrukci je nutno brát hlavně jako námět pro další experimenty s obvodem PIC. Na stránkách radioamatérských časopisů je poměrně mnoho zapojení s obvodem PIC, většina však používá nejednodušší typovou řadu a některé složitější funkce pak řeší externími obvody. Přitom cena výkonnějších modelů je dnes i pro běžného amatéra relativně dostupná. Např. v GM stojí použitý typ 270,- Kč v maloobchodě.



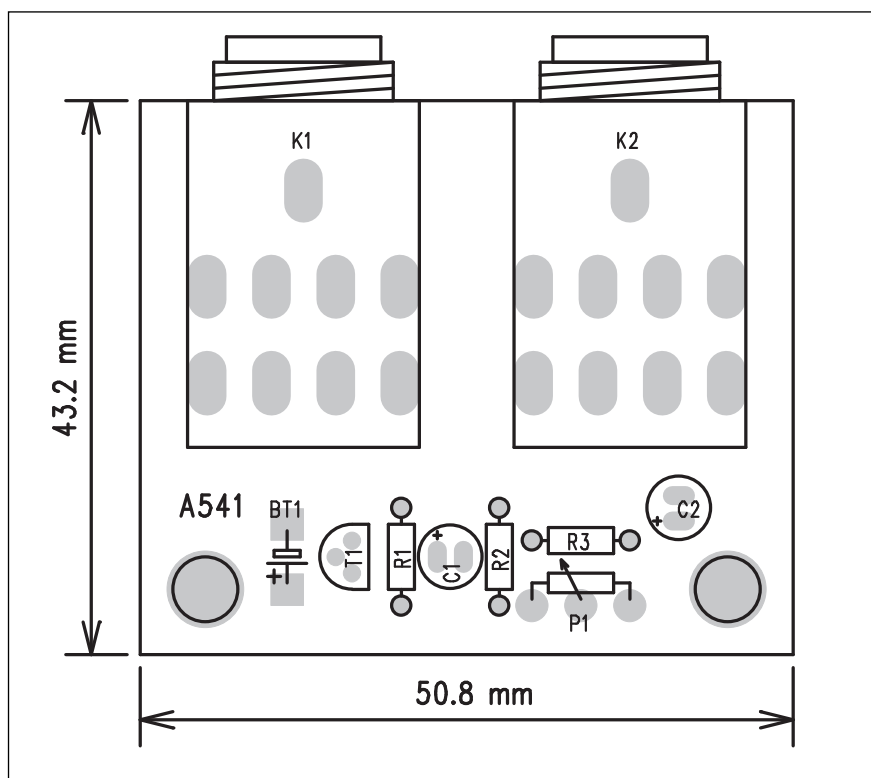
Obr. 3. Deska spojů - TOP



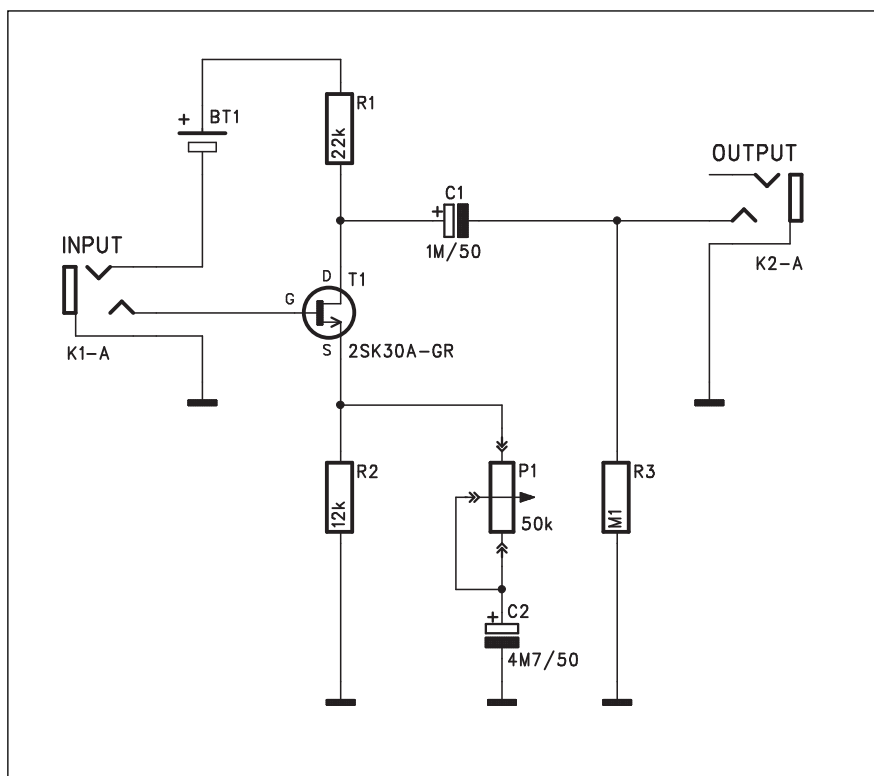
Obr. 4. Deska spojů - BOTTOM

Kytarové efekty

I když jsou dnes obchody s hudebními nástroji přeplněné mnoha typy efektových krabiček, kdykoliv uveřejníme nějaký popis kytarového efektu, bývá na něj značná odezva. Internetové stránky jsou plné nejrozličnějších modifikací všech běžných typů efektových zařízení. Jeden muzikant kopíruje a upravuje zapojení od druhého. K tomu existuje hromada více či méně důvěryhodně vypadajících výkresů rádobý firemní dokumentace (rozuměj často ručně "obkreslované" zapojení finálních výrobků). V této záplavě vybrat něco, co by mohlo mít reálnou šanci zaujmout a bezproblémově fungovat je velmi obtížné. Není ani v našich silách každé takové zapojení realizovat a zejména ho pořádně potrápít a zjistit, zda a k čemu se může hodit. Na druhé straně jsou naši muzikanti velmi často také zapálenými bastlíři, takže nějaký ten experiment je zase nemusí vyvést z míry. Z výše zmíněné internetové nadílky jsme tentokrát vybrali několik zapojení z celkem solidně zpracovaného souboru typických před-

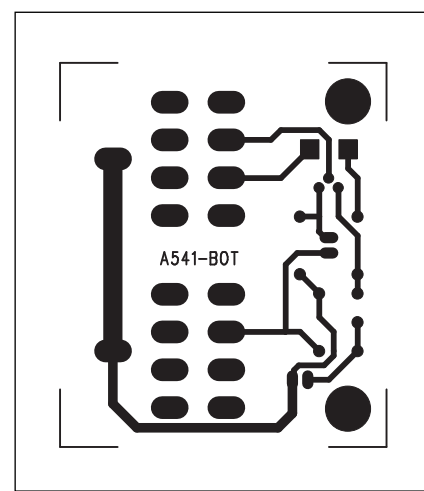


Obr. 2. Rozložení součástek na desce s plošnými spoji



Obr. 1. Schéma zapojení Miniboostu

vaného souboru typických představitelů efektových zařízení. Výběr představuje většinu nejčastěji používaných efektových zapojení. Protože je relativně rozsáhlý, bude rozdělen do dvou částí. Ke všem zapojením jsme připravili desky s plošnými spoji, které by měli případně



Obr. 3. Deska spojů A541-DPS

experimentování ulehčit. Na základě připomínky jednoho z našich čtenářů k praktické realizaci návrhu DPS jsme pozměnili základní koncepci. Já totiž velmi nerad cokoliv drátuji a proto se snažím vždy maximum součástek poskládat přímo na desku spojů. V případě realizace efektových krabiček pro muzikanty (ať už zvolíme jakékoliv provedení) je téměř pravidlem, že knoflíky potenciometrů a nožní přepínače jsou orientovány kolmo vzhůru, kdežto konektory směřují vodorovně dozadu. Takovéto uspořádání by v případě snahy o umístění všech prvků na desku spojů vyžadovalo buď značně krkolomné konstrukční řešení nebo použití speciálních součástek. Proto jsou u dnes uveřejněných konstrukcí na desce spojů pouze konektory jack (vstupy i výstupy), orientovány na zadní straně desky spojů, kdežto potenciometry a nožní přepínač se do desky zapojuje drátovou propojkou. Vzhledem k omezenému počtu ovládacích prvků to zase nepředstavuje takový problém. Současně se tím ušetří i rozměry DPS a tím i její cena.

V zapojeních jsou použity některé původní typy součástek (zejména tranzistory JFET), ale domnívám se, že ve většině zapojení by náhrada za některý běžně dostupný typ neměla

Seznam součástek

A541-Minibooster

odpory 0204

R1 22 k Ω

R2 12 k Ω

R3 M 1 Ω

C1 1 μ F/50 V

C2 4,7 μ F/50 V

T1 2SK30A-GR

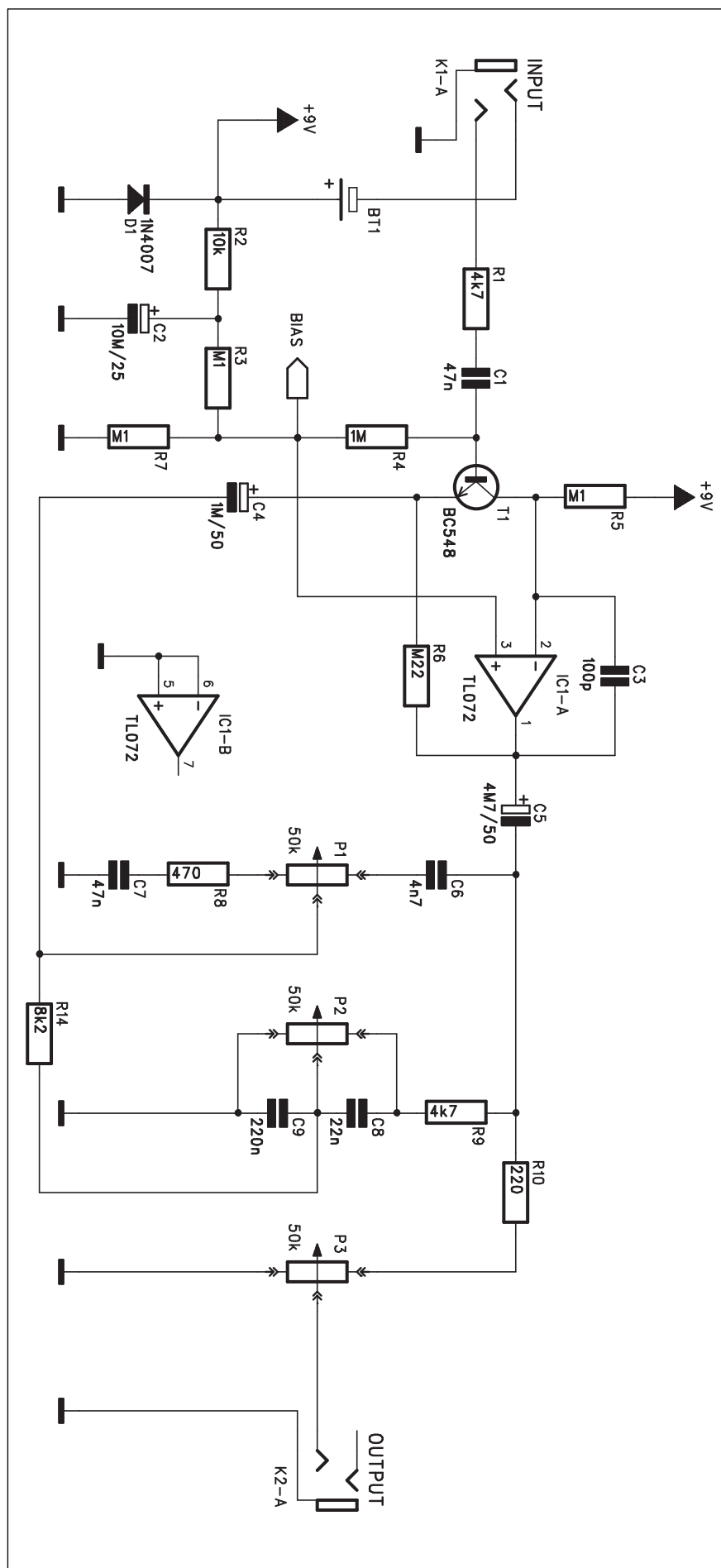
K1 JACK63PREP

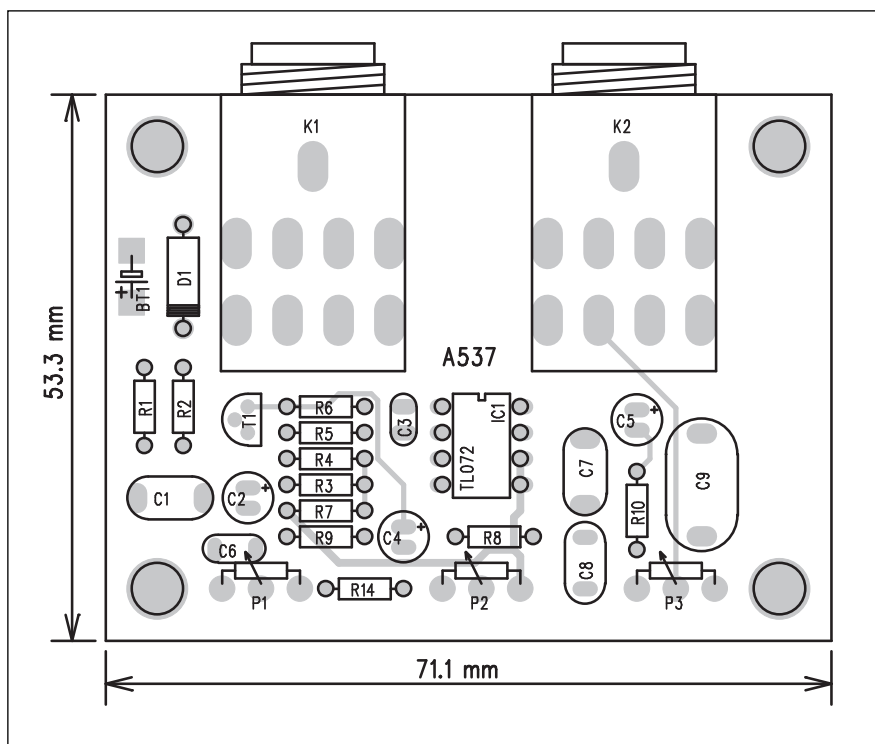
K2 JACK63PREP

P1 50 k Ω

BT1 baterie 9 V

Obr. 4. Schéma zapojení dvou-pásmových korekcí





Obr. 5. Rozložení součástek na desce korekci

dělat žádné problémy. Nutno ale podotknout, že v některých specifických případech může zejména u tranzistorů JFET a MOSFET dojít záměnou k rozpoznatelné změně funkce zařízení. To se ale týká zejména různých FETových simulátorů elektronkového zvuku. Pokud se tranzistor používá v běžném zapojení (jako impedanční transformátor na vstupu, jako proměnný odpor v různých napěťově řízených zesilovačích apod., při použití typu s obdobnými

charakteristickými vlastnostmi by také vlastnosti celého zařízení být obdobné.

Minibooster

Toto velmi jednoduché zapojení slouží k impedančnímu a úrovněmu přizpůsobení zdroje signálu s vyšším vnitřním odporem. V některých případech by zatížení snímače a pasivního korektoru vstupní impedancí

Seznam součástek

A537-Korekce

odpory 0204

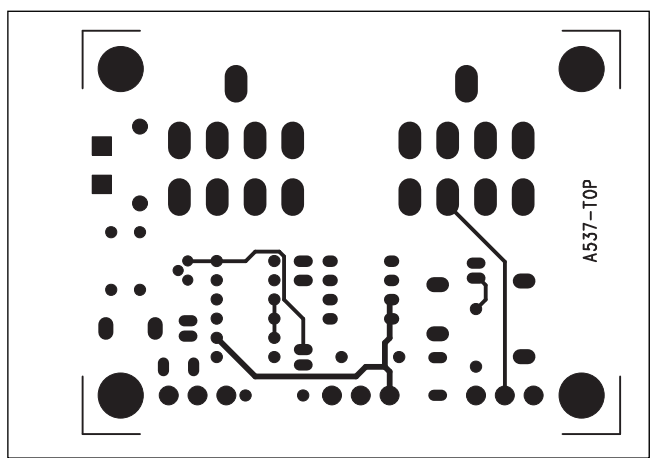
R2	10 kΩ
R4	1 MΩ
R10	220 Ω
R8	470 Ω
R1	4,7 kΩ
R9	4,7 kΩ
R14	8,2 kΩ
R3	100 kΩ
R5	100 kΩ
R7	100 kΩ
R6	220 kΩ

C3	100 pF
C2	10 μF/25 V
C4	1 μF/50 V
C9	220 nF
C8	22 nF
C1	47 nF
C7	47 nF
C5	4,7 μF/50 V
C6	4,7 nF

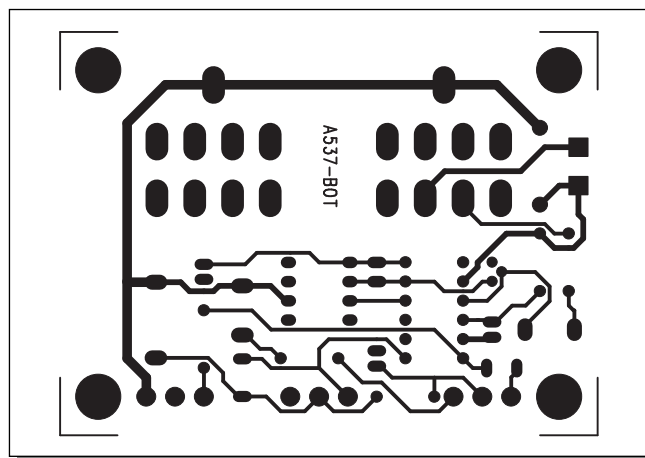
D1	1N4007
IC1	TL072
T1	BC548

K1	JACK63PREP
K2	JACK63PREP
P1	50 kΩ
P2	50 kΩ
P3	50 kΩ

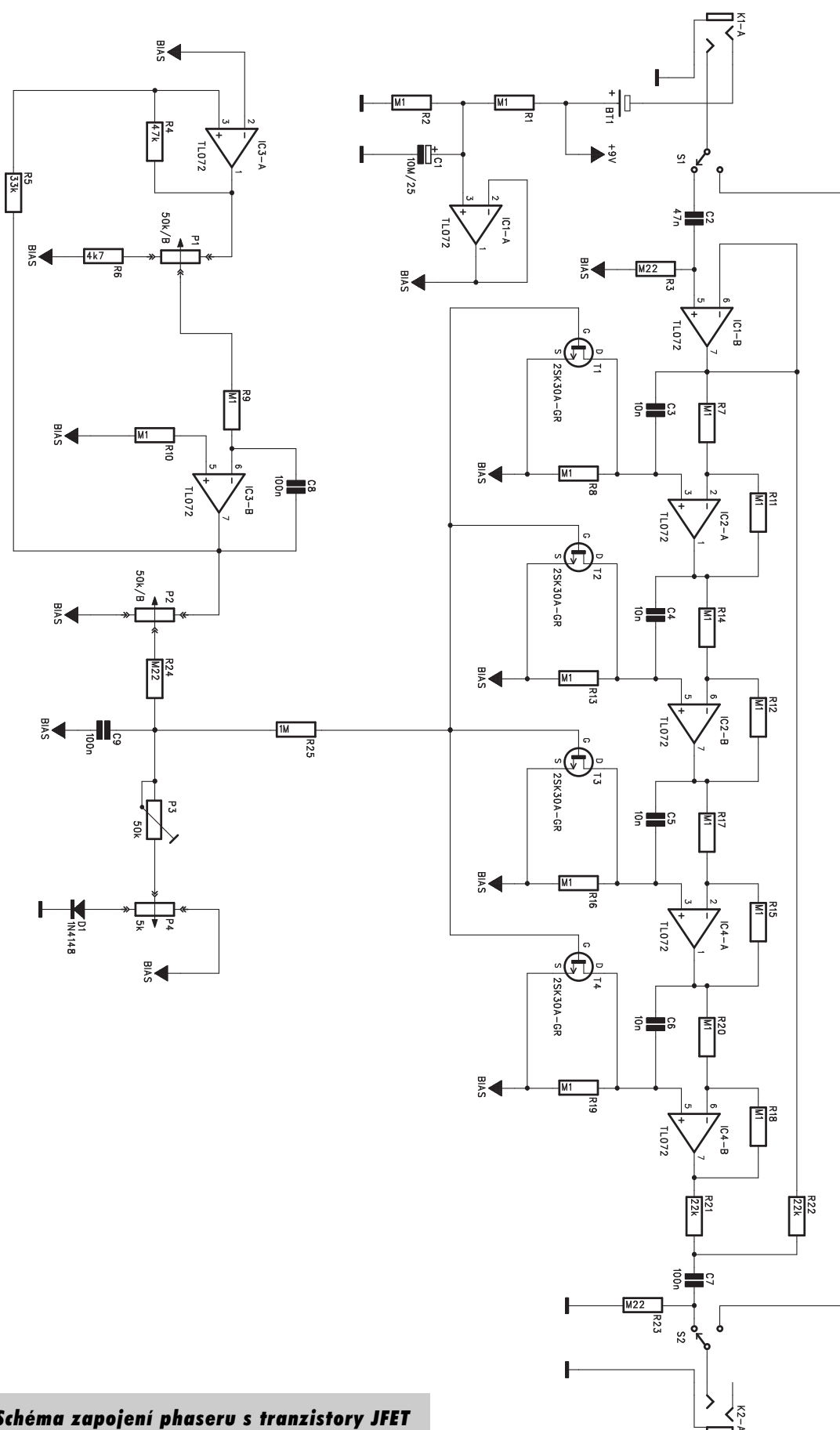
BT1	baterie 9 V
-----	-------------



Obr. 6. Obrazec desky spojů - strana TOP. M1:1



Obr. 7. Obrazec desky spojů - strana BOTTOM.



Obr. 8. Schéma zapojení phaseru s tranzistory JFET

zařízení v řádu desítek kohmů mohlo změnit barvu nástroje. V zapojení podle obr. 1 je použit tranzistor JFET jako zesilovač s nastavitelným ziskem potenciometrem P1. Vysoký vstupní odpor zapojení je dán právě použitím tranzistoru JFET. Použitý typ má též dobré šumové vlastnosti. MiniBOOSTER je stejně jako všechny ostatní efekty napájen z nesymetrického napětí +9 V, což může být např. běžná destičková baterie.

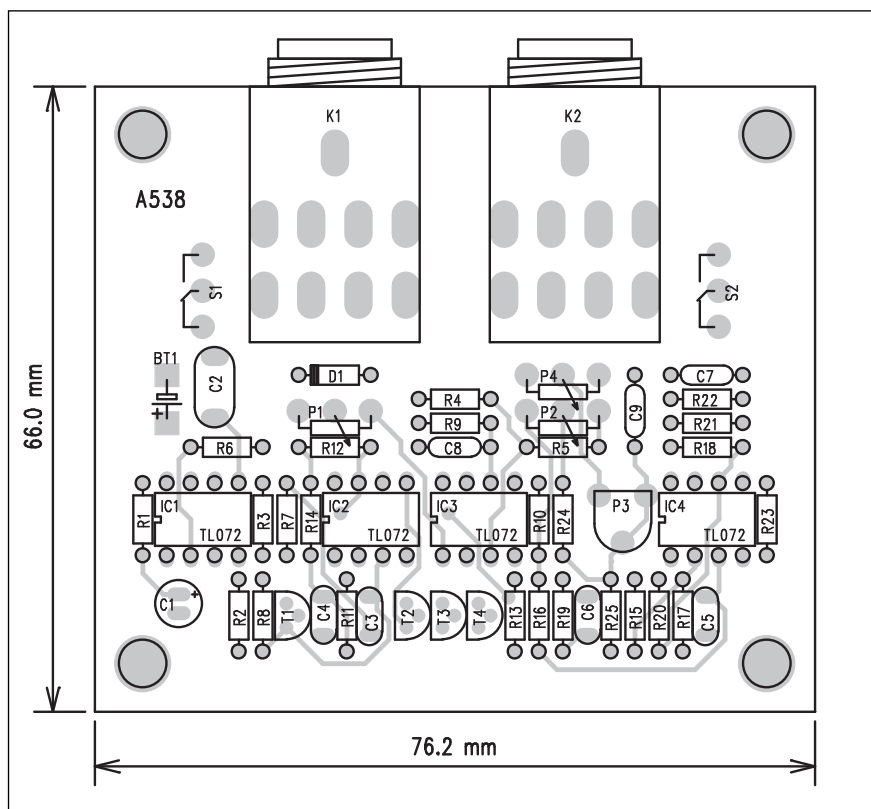
Stavba

Obvod je zhotoven na jednostranné desce s plošnými spoji o rozměrech 43 x 51 mm. Rozložení součástek na desce s plošnými spoji je na obr. 2, obrazec desky spojů (strana BOTTOM) je na obr. 3. Ke stavbě díky minimu použitých součástek není co dodat. Obvod musí při pečlivé práci fungovat na první zapojení.

Korekční zesilovač

Obvody pro úpravu kmitočtové charakteristiky patří k nejčastěji publikovaným zapojením. Je zajímavé, že ve zvukové technice (ať již domácí či studiové) mají převahu korektory aktivní (zpětnovazební), u dvoupásmového provedení nejčastěji typu Baxandal, kdežto muzikanti preferují pasivní korekce, které mívají odlišný

inzerce



Obr. 9. Rozložení součástek na desce s plošnými spoji phaseru

průběh kmitočtové charakteristiky. Těžko hodnotit, který systém je lepší, každý má své příznivce a odpůrce. Popsaný korektor je zapojen poněkud netradičně a přímo vybízí k otestování. Jeho schéma zapojení je na obr. 4. Jako u všech zapojení, pro napájení je použita baterie 9 V, která se automaticky zapíná zasunutím monofonního konektoru jack do vstupního konektoru. Za úrovnovým

zesilovačem s IC1 jsou zapojeny filtry výšek s potenciometrem P1 a hloubek s potenciometrem P2. Potenciometr P3 slouží k nastavení výstupní úrovně.

Stavba

Korekční zesilovač je zhotoven na dvoustranné desce s plošnými spoji o rozměrech 53 x 71 mm. Rozložení součástek na desce s plošnými spoji je na obr. 5, obrazec desky spojů ze strany součástek (TOP) je na obr. 6, ze strany spojů (BOTTOM) na obr. 7. Střed napájecího napětí pro operační zesilovač IC1 (bias) je odvozen z napájecího napětí odpory R2, R3 a R7. Dioda D1 chrání obvod proti opačné polarizovanému napájecímu napětí. Obvod nemá žádné nastavovací prvky a při pečlivé práci musí fungovat na první zapojení.

Phaser

Obvody typu phaser jsou v oblibě již od prvopočátků elektronických

hudebních nástrojů. V efektu dochází ke směšování původního signálu s modulovaným signálem, u které je řadou elektronicky nastavitelných filtrů otáčena fáze. Efekt má nastavitelnou rychlost (fiktivní rotace zvuku) a hloubku modulace. Schéma zapojení phaseru je na obr. 8. Jednotlivé filtry jsou řazeny za sebou. Jako řídicí prvek slouží čtveřice tranzistorů JFET (T1 až T4), které tvoří proměnné impedance. Ty jsou řízeny ze společného generátoru s operačními zesilovači IC3A a IC3B. Potenciometrem P1 nastavujeme kmitočet generátoru (rychlost), potenciometrem P2 hloubku

modulace. Protože je zařízení napájeno pouze nesymetrický napájecím napětím, je pro vytvoření umělého středu napájení použit operační zesilovač IC1A. Jeho výstup je dostatečně tvrdý, aby zaručil stabilní virtuální zem.

Stavba

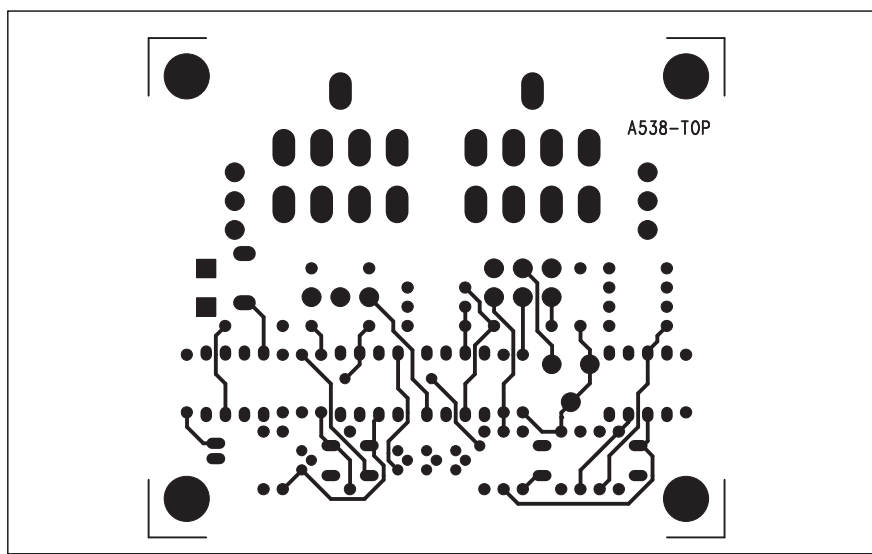
Phaser je zhotoven na dvoustranné desce s plošnými spoji o rozměrech 66 x 76 mm. Rozložení součástek na desce s plošnými spoji je na obr. 9. Obrázec desky s plošnými spoji ze strany součástek (TOP) je na obr. 10, ze

Seznam součástek

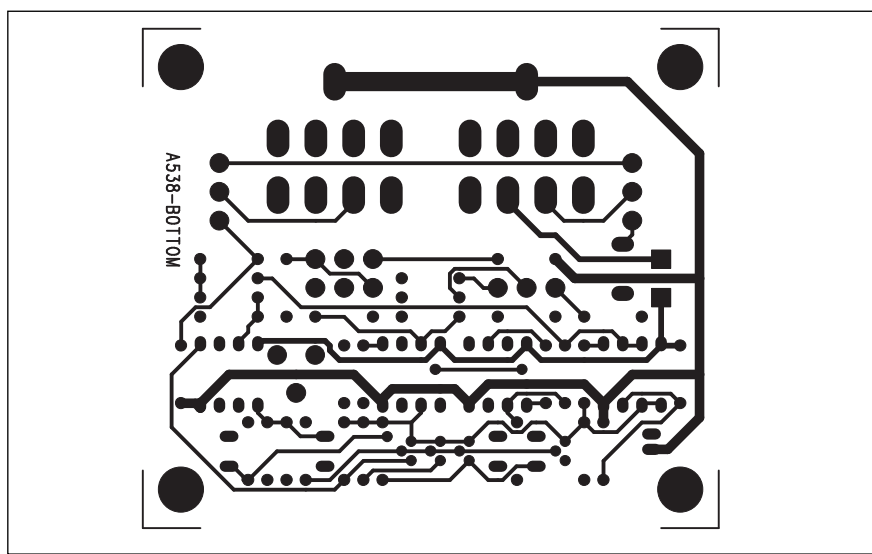
A538-Phaser

odpory 0204

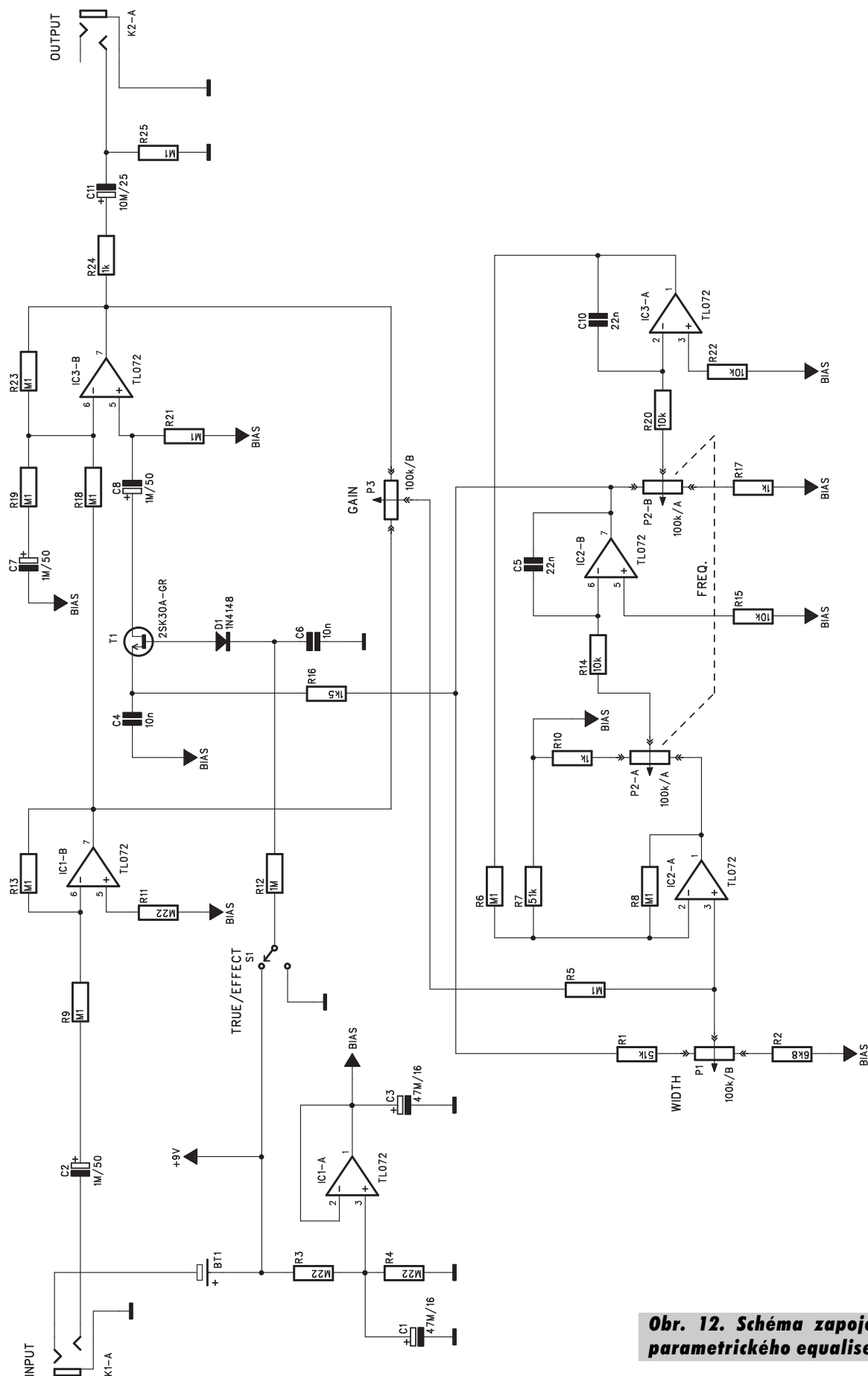
R25	1 MΩ
R21	22 kΩ
R22	22 kΩ
R5	33 kΩ
R4	47 kΩ
R6	4,7 kΩ
R1	1 MΩ
R2	1 MΩ
R7	1 MΩ
R8	1 MΩ
R9	1 MΩ
R10	1 MΩ
R11	1 MΩ
R12	1 MΩ
R13	1 MΩ
R14	1 MΩ
R15	1 MΩ
R16	1 MΩ
R17	1 MΩ
R18	1 MΩ
R19	1 MΩ
R20	1 MΩ
R3	22 Ω
R23	22 Ω
R24	22 Ω
C1	10 μF/25 V
C2	47 nF
C3	10 nF
C4	10 nF
C5	10 nF
C6	10 nF
C7	100 nF
C8	100 nF
C9	100 nF
D1	1N4148
IC1	TL072
IC2	TL072
IC3	TL072
IC4	TL072
T1	2SK30A-GR
T2	2SK30A-GR
T3	2SK30A-GR
T4	2SK30A-GR
K1	JACK63PREP
K2	JACK63PREP
P1	50 kΩ/B
P2	50 kΩ/B
P3	50 kΩ/PT6-H
P4	5 kΩ
S1	SW3POL
S2	SW3POL
BT1	baterie 9 V



Obr. 10. Deska spojů phaseru - strana součástek (TOP)



Obr. 11. Deska spojů phaseru - strana spojů (BOTTOM)

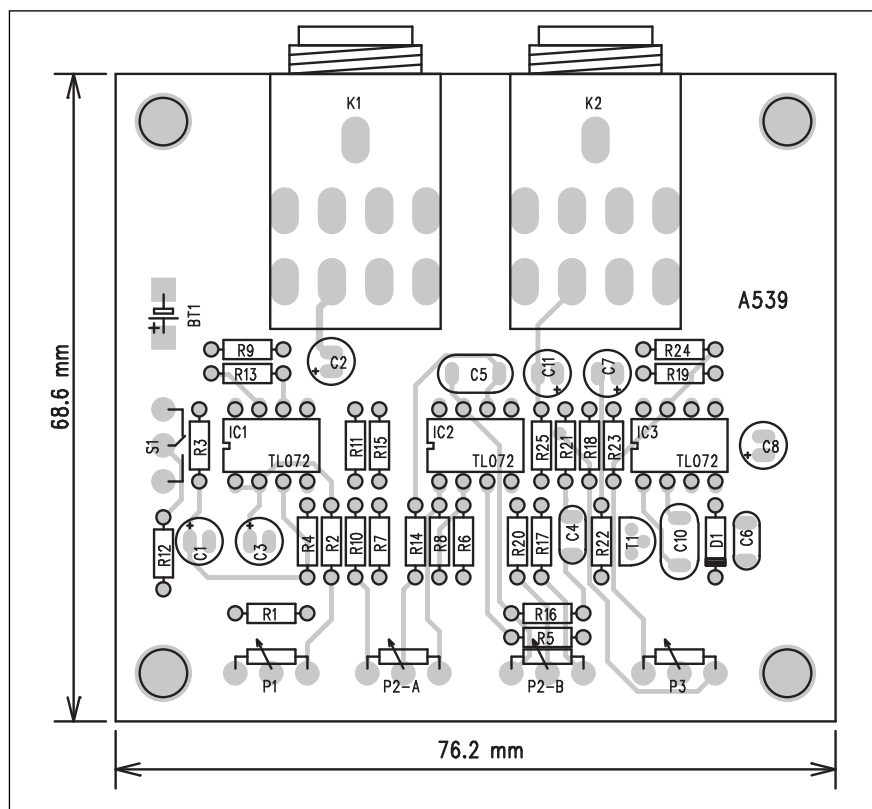


**Obr. 12. Schéma zapojení
parametrického equaliseru**

strany spojů (BOTTOM) je na obr. 11. Ani v tomto případě nebude náhrada tranzistoru 2SK30A za některý běžný - např. BF245, BF256 apod. nijak vadit. Efekt je možné vyřadit z provozu šlapacím přepínačem S1/S2.

Parametrický equaliser

Jednoduchý korekční předzesilovač byl popsán již na začátku. Parametrický equaliser umožňuje daleko přesnější nastavení kmitočtové charakteristiky než běžné dvoupásmové. Dobrý parametrický zesilovač má všechny tři základní parametry (odtud pochází název) volně nastavitelné. Jsou to kmitočet, zesílení nebo zeslabení a šířka pásma neboli činitel jakosti Q obvodu. Schéma zapojení je na obr. 12. Ze vstupního konektoru je přes vazební kondenzátor C2 signál přiveden na inverter s obvodem IC1B. Tento obvod pracuje jako impedanční měnič. Za ním následuje druhý inverter s IC3B. Mezi výstupy obou inverterů je zapojen potenciometr zisku (potlačení) P3. Z jeho běžce se přivádí signál do přeladitelné pásmové propusti s IC2 a IC3A. Dvojitý potenciometr P2 určuje mezní kmitočet propusti, potenciometrem P1 se nastavuje šířka pásma (Q). Pro zapínání/vypínání efektu je v tomto případě použit místo přímého zkratování vstupních a výstupních svorek (konektorů)



Obr. 13. Rozložení součástek na desce parametrického equaliseru

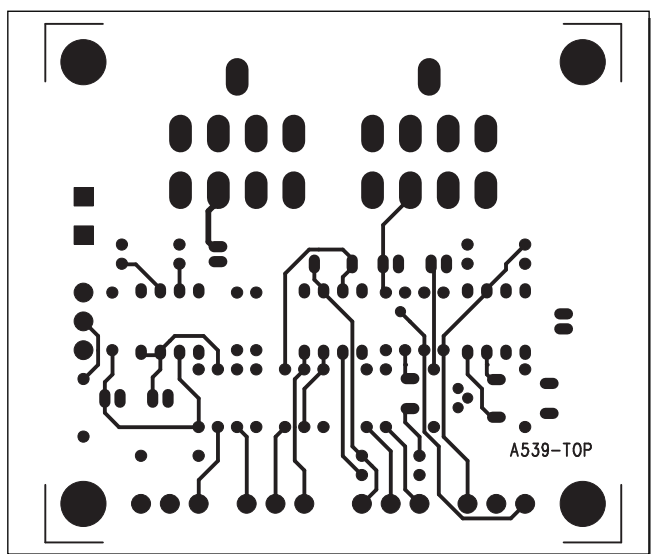
elektronický přepínač s tranzistorem T1 (2SK30A), který je teprve ovládán nožním spínačem.

Stavba

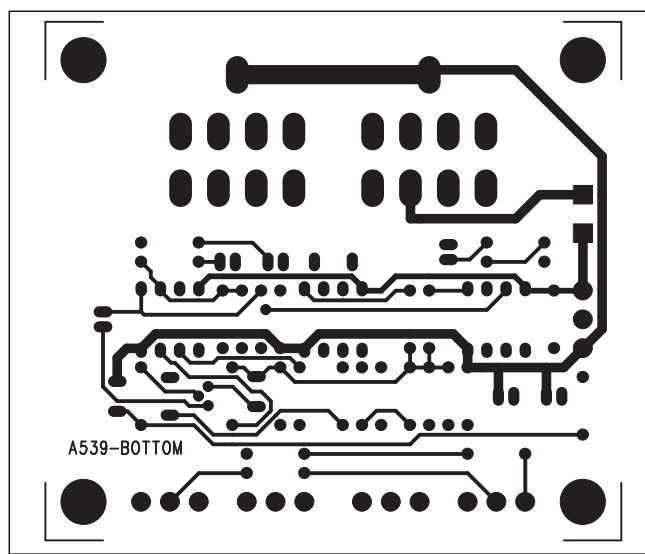
Parametrický equaliser je zhotoven na dvoustranné desce s plošnými spoji

o rozměrech 69 x 76 mm. Rozložení součástek na desce spojů je na obr. 13, obrazec desky s plošnými spoji ze strany součástek (TOP) je na obr. 14, ze strany spojů (BOTTOM) je na obr. 15.

Obvod neobsahuje žádné nastavovací prvky a při pečlivé práci by měl fungovat na první zapojení.



Obr. 14. Deska parametrického equaliseru - TOP



Obr. 15. Deska parametrického equaliseru - BOTTOM

Seznam součástek

A539-Parametrický EQ

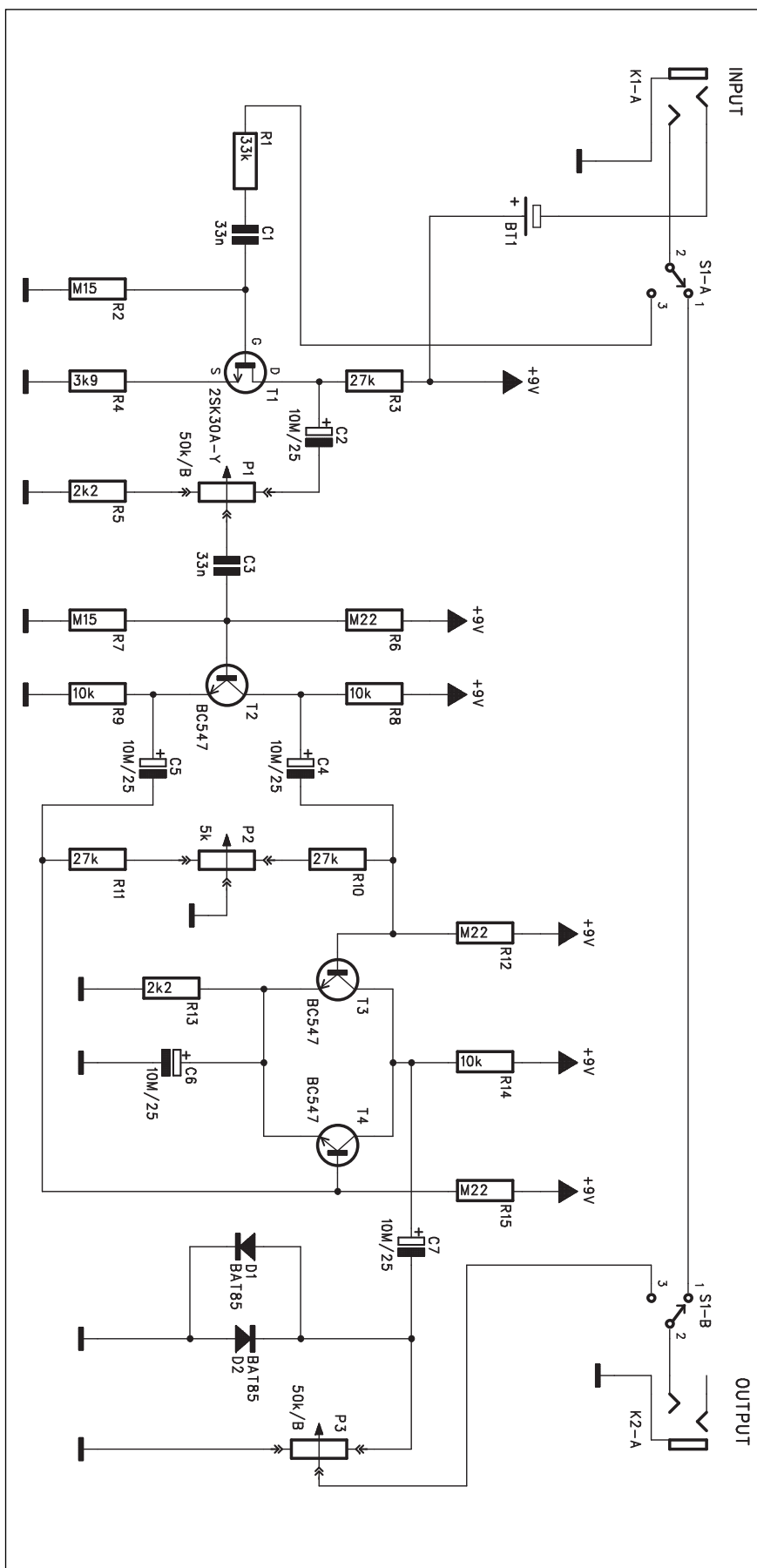
odpory 0204

R14	10 k Ω
R15	10 k Ω
R20	10 k Ω
R22	10 k Ω
R10	1 k Ω
R17	1 k Ω
R24	1 k Ω
R16	1,5 k Ω
R12	1 M Ω
R1	51 k Ω
R7	51 k Ω
R2	6,8 k Ω
R5	M 1 Ω
R6	M 1 Ω
R8	M 1 Ω
R9	M 1 Ω
R13	M 1 Ω
R18	M 1 Ω
R19	M 1 Ω
R21	M 1 Ω
R23	M 1 Ω
R25	M 1 Ω
R3	M 22 Ω
R4	M 22 Ω
R11	M 22 Ω

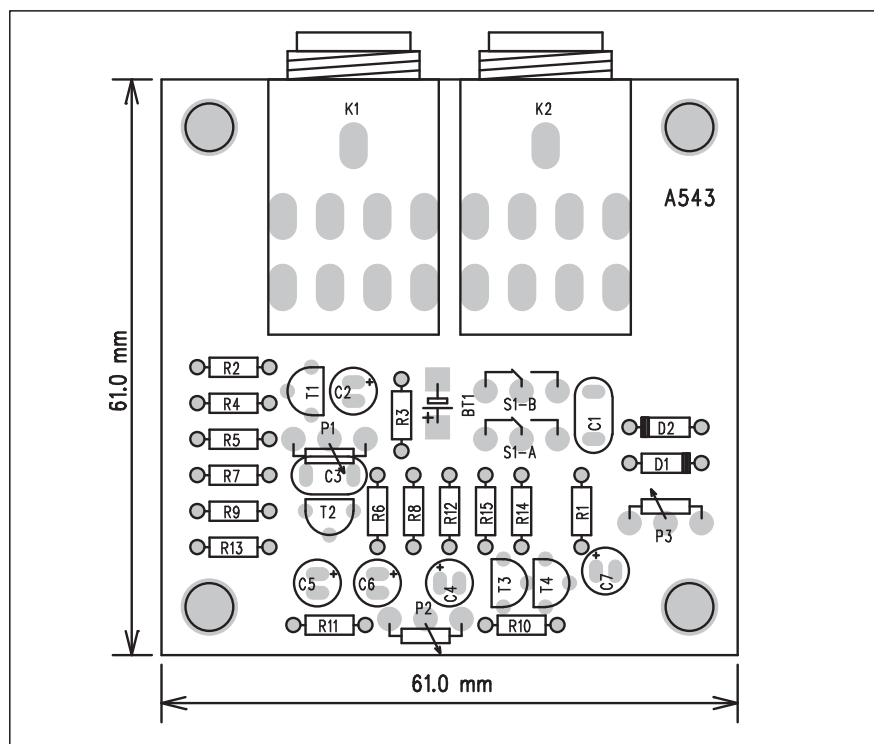
C11	10 μ F/25 V
C4	10 nF
C6	10 nF
C2	1 μ F/50 V
C7	1 μ F/50 V
C8	1 μ F/50 V
C5	22 nF
C10	22 nF
C1	47 μ F/16 V
C3	47 μ F/16 V

D1	1N4148
IC1	TL072
IC2	TL072
IC3	TL072
T1	2SK30A-GR

K1	JACK63PREP
K2	JACK63PREP
P1	100 k Ω /B
P3	100 k Ω /B
P2-A	100 k Ω /A
P2-B	100 k Ω /A
S1	SW3POL
BT1	baterie 9 V



Obr. 16. Schéma zapojení fuzzu



Obr. 17. Rozložení součástek na desce fuzzu

Fuzz

Fuzzy patří k nejčastěji publikovaným i realizovaným efektům. Patří do skupiny "zkreslovadel", jejichž účelem je přitvrdit zvuk výrazným ořezáním špiček signálu a doplnění původního signálu značným množstvím harmonických. Schéma zapojení fuzzu je na obr. 16. Na vstupu je zapojen klasický tranzistor JFET T1, sloužící jako impedanční transformátor a předzesilovač. Za ním je potenciometr zesílení. Čím větší zesílení, tím větší

bude míra limitace a tím i požadovaného oříznutí (zkreslení signálu). Z kolektoru a emitoru tranzistoru T2 se odebírá symetrický signál, kterým je buzena dvojice tranzistorů T3 a T4. Z jejich společného kolektorového odporu R14 se odebírá signál, který je limitován dvojicí antiparalelně zapojených diod BAT85. V původním zapojení zde byla použita dvojice germaniových diod 1N60. Potenciometrem P3 nastavujeme výstupní úroveň. Nožním přepínačem S1 můžeme efekt vyřadit z provozu.

Seznam součástek

A543-Fuzz

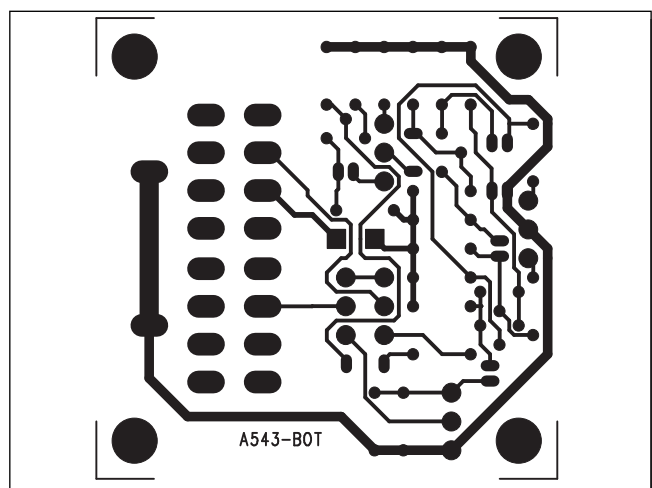
odpory 0204

R8, R9	10 kΩ
R14	10 kΩ
R3	27 kΩ
R10	27 kΩ
R11	27 kΩ
R5	2,2 kΩ
R13	2,2 kΩ
R1	33 kΩ
R4	3,9 kΩ
R2	150 kΩ
R7	150 kΩ
R6	220 kΩ
R12	220 kΩ
R15	220 kΩ

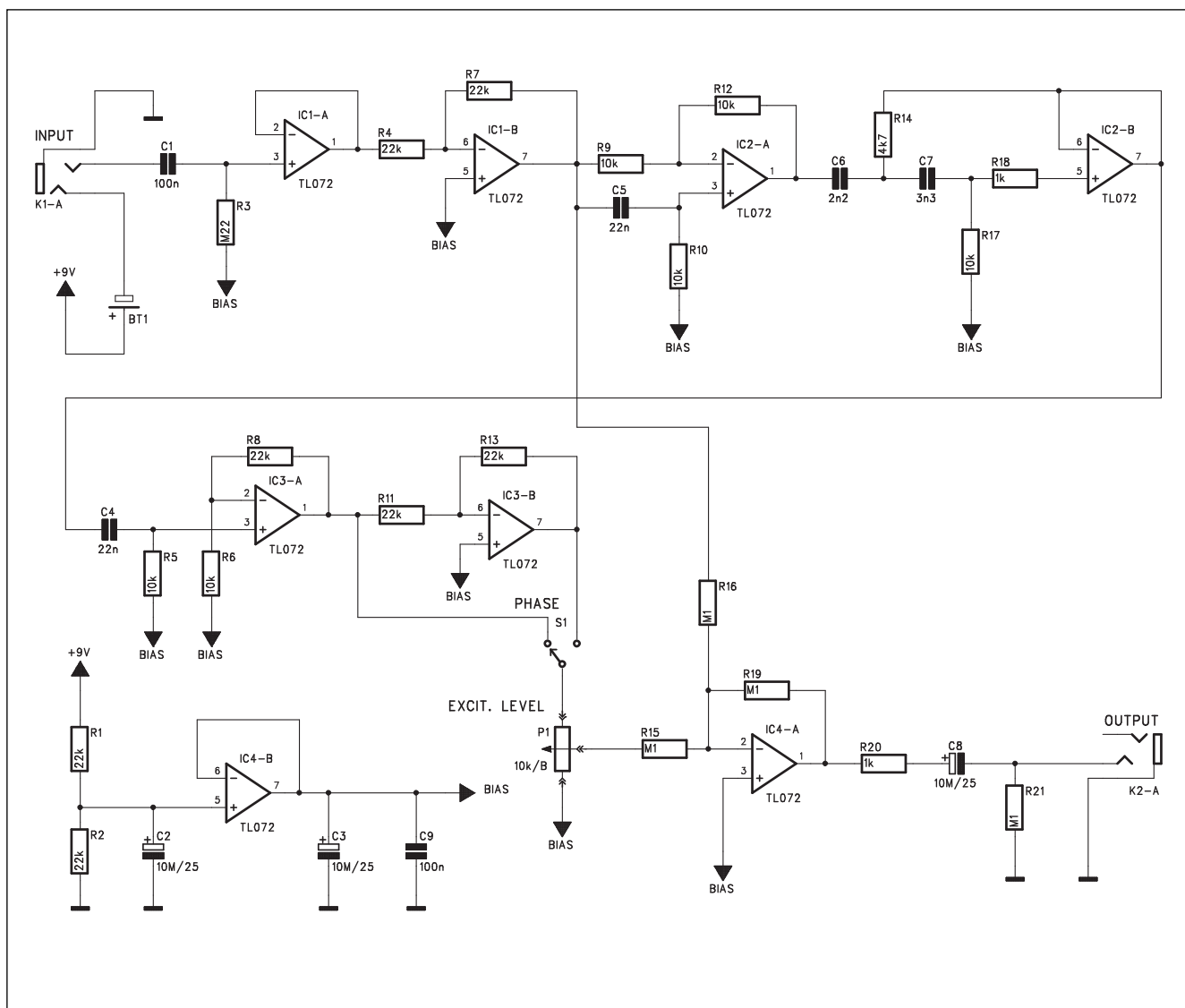
C2	10 μF/25 V
C4	10 μF/25 V
C5	10 μF/25 V
C6	10 μF/25 V
C7	10 μF/25 V
C1, C2	33 nF

D1	BAT85
D2	BAT85
T1	2SK30A-Y
T2	BC547
T3	BC547
T4	BC547

K1, K2	JACK63PREP
P1	50 kΩ/B
P2	5 Ω k
P3	50 Ω k/B
S1-A	SW3POL
S1-B	SW3POL
BT1	baterie 9V



inzerce



Obr. 18. Schéma zapojení exciteru

Stavba

Fuzz je zhotoven na jednostranné desce s plošnými spoji o rozměrech 61 x 61 mm. Rozložení součástek na desce s plošnými spoji je na obr. 17, obrazec desky (strana spojů BOTTOM) je na obr. 18. Po osazení a zapájení součástek desku pečlivě prohlédneme a odstraníme případné závady.

Exciter

Exciter patří k méně rozšířeným kytarovým efektům, častěji byl v různých podobách používán ve zvukové praxi. Princip je poměrně jednoduchý.

K původnímu signálu se přidává určitá část, která obsahuje vyšší harmonické. V některých zapojení je původní signál na vyšších kmitočtech omezen a doplněn uměle vytvořenými harmonickými z dolní části spektra. Takto použitý efekt (pokud byl přidán s citem) subjektivně "vyčistil" zvukový signál. Schéma kytarového efektu exciter je na obr. 19. Za vstupním sledovačem je zapojen invertor s operačním zesilovačem IC1. Zde se signál dělí. Originální signál pokračuje přes odpor R16 na vstup sčítacího zesilovače IC4A. Druhá signálová cesta jde přes horní propust tvořenou obvody IC2 a IC3A. IC3B je zapojen jako invertor a umožňuje přepínačem S1 otáčet fází efektového signálu.

Potenciometrem P1 se nastavuje množství efektového signálu přidaného k originálnímu.

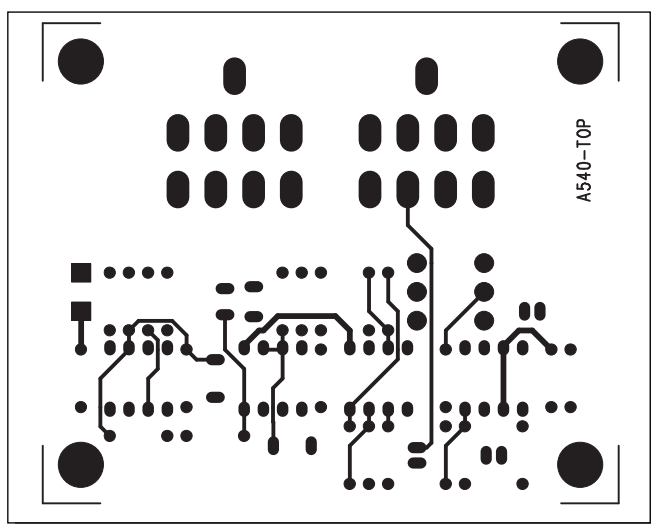
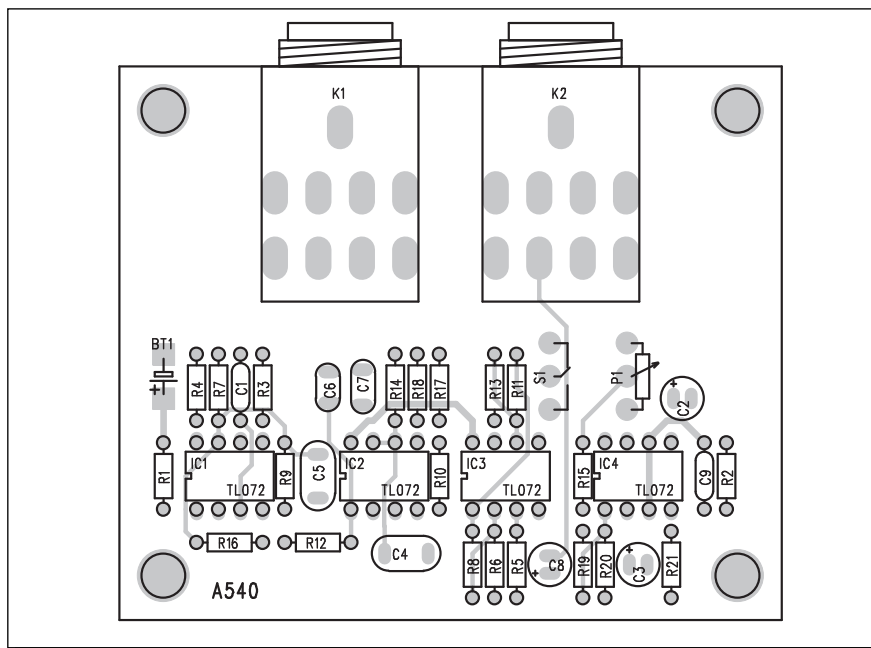
Stavba

Exciter je zhotoven na dvoustranné desce s plošnými spoji o rozměrech 63 x 76 mm. Rozložení součástek na desce s plošnými spoji je na obr. 20, obrazec desky spojů ze strany součástek (TOP) je na obr. 21, ze strany spojů (BOTTOM) je na obr. 22. Stavba exciteru je jednoduchá a neobsahuje žádné problémy. S výjimkou nožního přepínače a potenciometru P1 jsou všechny součástky na desce s plošnými spoji.

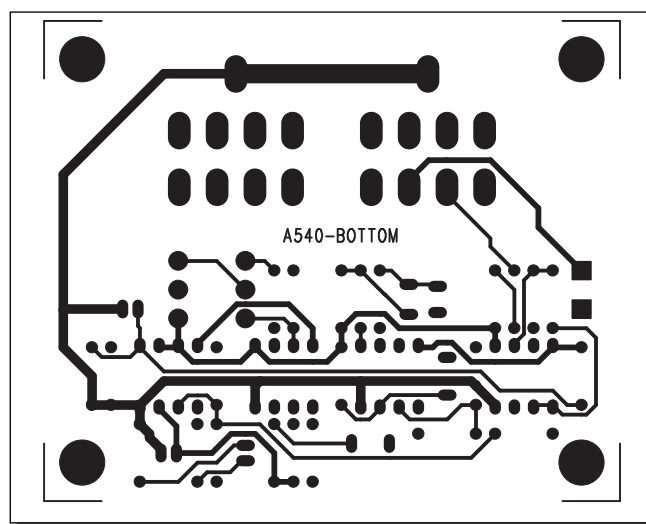
Závěr

Jak již bylo řečeno v úvodu, tato série kytarových efektů přináší některá nová zapojení, s kterými lze začít laborovat. Protože prakticky každý hudebník má svoji vlastní představu o zvuku, co někdo ztratí, může jinému připadat jako dobrý zvuk. Kolikrát stačí změna jediné hodnoty některé součástky ke změně celkového charakteru efektu. Na tomto poli je tedy nepřeberné množství možností k vlastním pokusům.

Obr. 20. Rozložení součástek na desce s plošnými spoji



Obr. 21. Deska spojů exciteru - strana TOP



Obr. 22. Deska spojů exciteru- strana BOTTOM

Seznam součástek

A540-Exciter

odpory 0204

R5	10 kΩ	R7	22 kΩ	C8	10 μF/25 V
R6	10 kΩ	R8	22 kΩ	C4	22 nF
R9	10 kΩ	R11	22 kΩ	C5	22 nF
R10	10 kΩ	R13	22 kΩ	C6	2,2 nF
R12	10 kΩ	R14	4,7 kΩ	C7	3,3 nF
R17	10 kΩ	R15	100 kΩ	IC1	TL072
R18	1 kΩ	R16	100 kΩ	IC2	TL072
R20	1 kΩ	R19	100 kΩ	IC3	TL072
R1	22 kΩ	R21	100 kΩ	IC4	TL072
R2	22 kΩ	R3	220 kΩ	K1, K2	JACK63PREP
R4	22 kΩ	C1	100 nF	P1	10 kΩ/B
		C9	100 nF	S1	SW3POL
		C2	10 μF/25 V	BT1	baterie 9V
		C3	10 μF/25 V		